# Лабораторный практикум по курсу

# «Системы автоматического управления, микропроцессоры и микроЭВМ в электронно – оптическом» аппаратостроении»

для студентов специальности 36.04.01 «Электронно – оптическое аппаратостроение»

СОДЕРЖАНИЕ	2
Лабораторная работа №1. Типовые звенья систем автоматического	
управления и их соединения	3
<b>Лабораторная работа № 2.</b> Преобразование структурных схем и	
определение устойчивости систем управления с помощью ЭВМ	14
<b>Лабораторная работа № 3.</b> Исследование динамических свойств линей	НЫХ
систем автоматического управления	26
Лабораторная работа № 4. Функционирование управляющих систем	
измерительной РЭА	36
Рекомендуемая литература	

# Лабораторная работа №1. Типовые звенья систем автоматического управления и их соединения

**1. Цель работы:** Изучение временных и частотных характеристик типовых звеньев систем автоматического регулирования и управления на ЭВМ, влияния обратной связи на динамические и частотные характеристики систем. Краткие теоретические сведения.

#### 2. Краткие теоретические сведения

В САУ используется большое количество элементов, различных по своей физической природе, принципу действия, конструкции и т.д. Динамические свойства элементов, т.е. изменение их состояния во времени, описываются дифференциальными уравнениями. Процесс составления уравнения элемента системы и всей системы является ответственным и сложным, так как результаты динамических исследований системы зависят от точности представления физических процессов, протекающих в системе, и от правильности их математического отображения. Для упрощения этого этапа всю систему разбивают на отдельные звенья. Звено – часть системы, на работу которой не влияет следующий за ней в направлении распространения сигнала участок системы, а само звено не влияет на работу предшествующего ему участка. Уравнения, описывающие работу звеньев системы, составляют по следующему принципу. Считая, что все переменные являются входными по отношению к рассматриваемому звену, отклонены в положительном направлении их отсчета, на основании законов механики, электротехники, термодинамики или других законов связывают эти входные переменные с вызываемыми ими отклонениями выходной переменной рассматриваемого звена. Аналитическое выражение, характеризующее связь, будет являться уравнением рассматриваемого звена.

Под типовыми динамическими звеньями понимают звенья, поведение которых описывается линейными дифференциальными уравнениями не выше второго порядка с положительными коэффициентами. Примерами таких звеньев могут служить механические, гидравлические, электрические и пневматические звенья.

С целью упрощения методов расчета и проектирования САУ и САР уравнения динамики объектов или устройств (звеньев) записываются не через оригиналы функций, а в виде изображений, полученных с помощью прямого преобразования Лапласа:

$$x(p) = \int x(t)e^{-pt}dt = \alpha[x(t)] = L[x(t)]$$
 (1.1)

Для определения оригинала функций по ее изображению используют обратное преобразование Лапласа:

$$x(t) = \frac{1}{2\pi j} \int_{c-j\omega}^{c+j\omega} x(p)e^{pt} dp = L^{-1}[x(p)]$$
 (1.2)

В теории автоматического регулирования пользуются не уравнениями объектов и устройств автоматического регулирования, записанными через изображение функций, а их передаточными функциями.

Под передаточной функцией понимают отношение изображения выходной величины для объекта или устройства (звена) системы к изображению функции входной величины, полученной при нулевых начальных условиях.

Например, дифференциальное уравнение (1.3) преобразуется с помощью оператора Лапласа р к алгебраическому уравнению (1.4):

$$T_1 T_2 \frac{d^2 y}{dt^2} + (T_1 + T_2) \frac{dy}{dt} + y(t) = kx(t)$$
 (1.3)

$$[T_1T_2p^2 + (T_1 + T_2)p + 1]y(p) = kx(p)$$
(1.4)

Тогда передаточная функция (1.5) просто получается из уравнения (1.4):

$$W(p) = \frac{Y(p)}{X(p)} = \frac{k}{T_1 T_2 p^2 + (T_1 + T_2) p + 1}$$
(1.5)

Формально передаточную функцию легко получить из дифференциального уравнения заменой производных символом р в соответствующей степени.

По передаточной функции звена и изображению входного воздействия можно найти изображение входной величины:

$$Y(p) = X(p) \cdot W(p) \tag{1.6}$$

Переход от изображения к оригиналу осуществляется с помощью обратного преобразования Лапласа или таблиц соответствий.

Решения дифференциальных уравнений при некоторых стандартных типовых воздействиях, характеризующих изменение выходного сигнала, называются временными характеристиками звеньев. При анализе и синтезе САУ наиболее широко используются переходная и импульсные характеристики. Переходная характеристика h(t) определяет изменение входной переменной x(t) на величину [1(t)] при нулевых начальных условиях t:

$$y(t) = h_0 x(t) + \int_0^t n(t)x(t-\tau)d\tau$$
 (1.7)

т.е. это реакция звена на входной сигнал, являющийся единичной ступенчатой функцией времени.

Импульсная характеристика, или функция веса k(t), показывает изменение импульса (s – функции) **в** начальных нулевых условиях:

$$y(t) = \int_{0}^{t} k(t)x(t-\tau)d\tau \tag{1.8}$$

Эти характеристики описывают поведение звеньев и систем в переходных режимах. Для оценки установившихся режимов следует рассматривать поведение элементов (звеньев) и систем при гармоническом воздействии  $A\sin(\omega t + \varphi)$ .

Амплитудно — фазочастотной характеристикой ( $A\Phi YX$ ) звена называется функция, определяющая изменение амплитуды и фазы выходного сигнала в установившемся режиме при подаче на вход звена гармонического воздействия:

$$K(j\omega) = \frac{Y(j\omega)}{X(j\omega)} = K(\omega)e^{j\varphi(\omega)} = U(\omega) + jV(\omega)$$
(1.9)

Ее можно представить в декартовых координатах на комплексной плоскости (U, jV) или в полярных координатах K(w), f(w). Амплитудно — частотная характеристика (AЧX) звена показывает, во сколько раз изменяется амплитуда колебаний на выходе звена по сравнению со входом при изменении частоты:

$$K(\omega) = \sqrt{U^2(\omega) + V^2(\omega)}$$
 (1.10)

$$U(\omega) = K(\omega)\cos\varphi(\omega) \tag{1.11}$$

$$V(\omega) = K(\omega)\sin\varphi(\omega) \tag{1.12}$$

Фазочастотная характеристика (ФЧХ) показывает, на сколько градусов изменяется фазовый сдвиг между входными и выходными сигналами при изменении частоты w на входе звена:

$$\varphi(\omega) = arctg \frac{U(\omega)}{V(\omega)} \tag{1.13}$$

При исследовании САУ чаще всего используют логарифмические частотные характеристики: амплитудно — частотную ( $\mathit{ЛAYX}$ ) и фазочастотную ( $\mathit{A\PhiYX}$ ).

Логарифмической амплитудно-частотной характеристикой называется кривая, соответствующая 20 десятичным логарифмам (децибелам) амплитудно-частотной характеристики, построенной в десятичном (логарифмическом) масштабе частот:

Отрезок шкалы, соответствующий изменению частоты в 10 раз, называется декадой, а в 2 раза – октавой.

Значительные участки  $\mathit{ЛAYX}$  с большой точностью (до 3 дБ) могут быть заменены прямой линией — асимптотой. Они имеют отрицательный или положительный наклон, кратный 20 дБ/дек.

Частотные характеристики звеньев представлены в табл. 1.1, техническая реализация звеньев с помощью усилителей постоянного тока в табл. 1.2.

Системы автоматического регулирования или управления представляются как соединения нескольких типовых (как правило) динамических звеньев. Существуют три типа соединений звеньев: последовательное, параллельное и последовательно — параллельное.

При последовательном соединении передаточные функции звеньев перемножаются, при параллельном — складываются. Последовательно — параллельное соединение — это охват звена или нескольких звеньев обратной связью (со звеном или без него в цепи обратной связи).

Различные соединения звеньев позволяют изменить свойства типовых звеньев в необходимом направлении. Например, при параллельном соединении апериодического звена с интегрирующим или идеально интегрирующего с инерционным проявляются дифференцирующие свойства этого соединения звеньев.

Обратная связь также изменяет свойства звена. Обратная связь может быть отрицательной и положительной (рис. 1.1). Если какой либо выходной сигнал имеет тот же знак, что и входной, и этот выходной сигнал затем суммируется со входным, то это положительная жесткая обратная связь. Положительная обратная связь приводит к неустойчивости звеньев и применяется редко. В основном используется отрицательная обратная связь, когда с входным сигналом суммируется выходной сигнал, но со знаком, противоположным знаку входного сигнала.

Если в цепи обратной связи не стоит никакого звена, это жесткая единичная обратная связь, если стоит усилительное звено, то это жесткая связь с глубиной обратной связи, если же в цепи стоит звено (звенья), содержащее различные элементы, то это гибкая обратная связь.

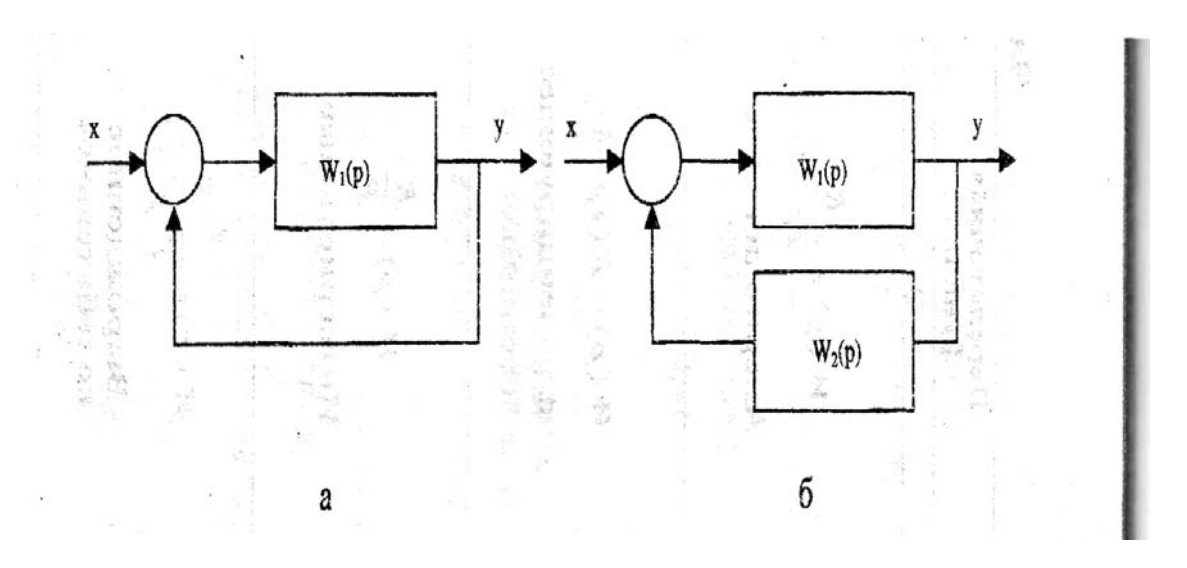
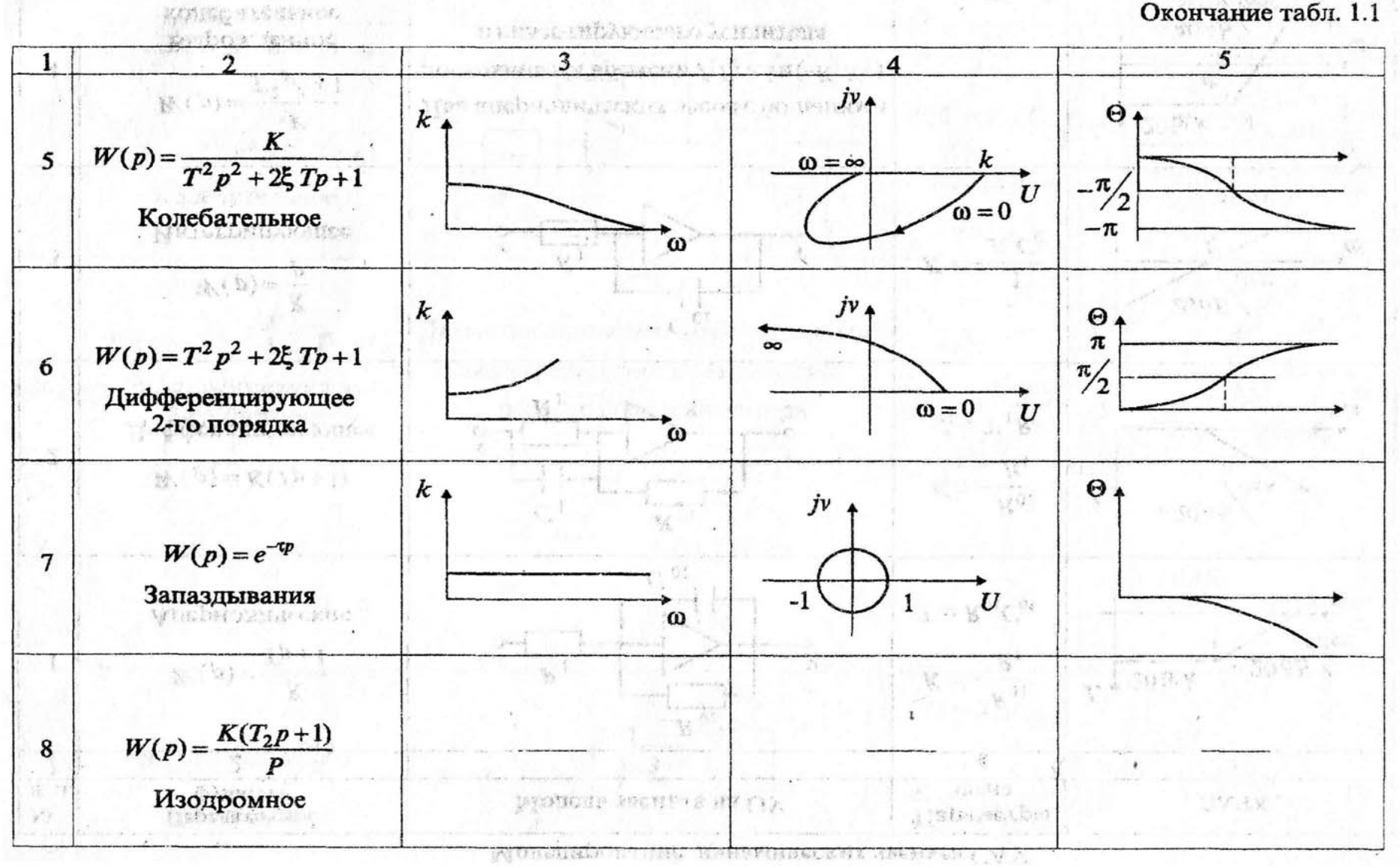


Рис. 1.1. Структурные схемы регулирования с обратной связью: а – с жесткой ОС; б – с гибкой ОС

№	Передаточная	Ч	28			
п. п.	функция	АЧХ	астотные характеристики звень АФЧХ.	ФЧХ		
1	2	3	4	5		
1.	$W(p) = \frac{K}{Tp+1}$ Апериодическое	$k$ $\omega$	$jv$ $\omega = \infty \qquad k$ $U$	Θ 1/ <sub>T</sub> -π/ <sub>4</sub> -π/ <sub>2</sub>		
2	W(p) = K(Tp+1) Дифференцирующее	κ τ τ τ τ τ τ τ τ τ τ τ τ τ τ τ τ τ τ τ	$ \begin{array}{c c}  & jv \\ \hline 0 & 1 \\ \hline \omega = 0 & U \end{array} $	π/ <sub>2</sub> π/ <sub>4</sub> 1/ <sub>T</sub>		
<b>3</b> ,	$W(p) = \frac{K}{P}$ Интегрирующее	$k$ $\omega$	$ \begin{array}{c} jv \\ \omega = 0 \\ \downarrow \omega = \infty \end{array} $	$\begin{bmatrix} \Theta \\ 0 \\ -\pi/2 \end{bmatrix}$		
4	$W(p) = \frac{K}{T^2 p^2 + 1}$ Вырожденное колебательное	$k \downarrow 0$ $1/T$ $\omega$	$ \begin{array}{c c} jv \\ \omega = \infty \\ R = \infty \end{array} $			

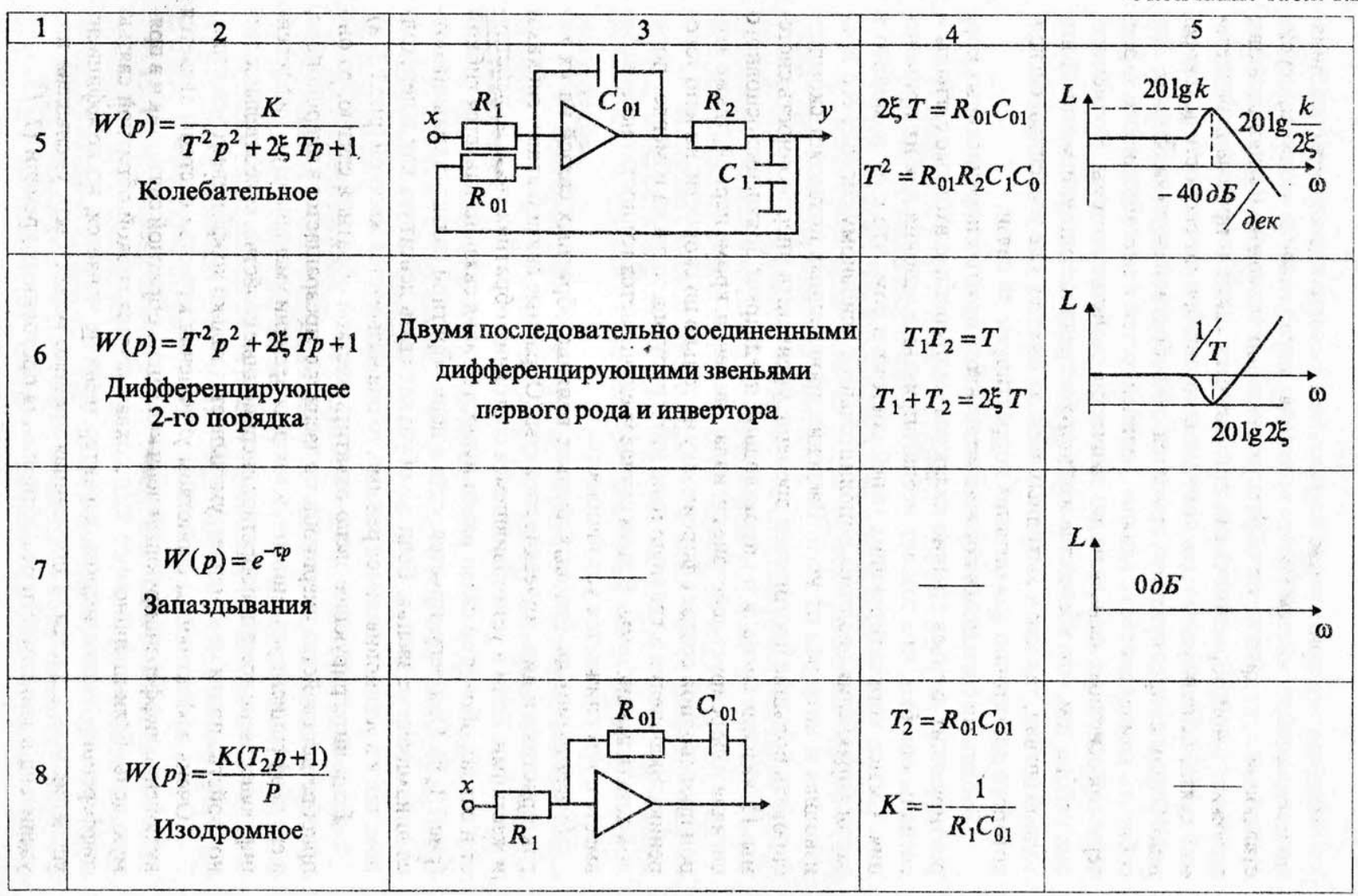
# Окончание табл. 1.1



# Моделирование динамических звеньев САУ

№ п. п.	Передаточная функция	Модель звеньев на ОУ	Параметры звена	лачх
1	2	3	4	, 5
1	$W(p) = \frac{K}{Tp+1}$ Апериодическое	$ \begin{array}{c c}  & R_{01} \\  & R_{01} \\  & C_{01} \end{array} $	$K = -\frac{R_{01}}{R_1}$ $T = R_{01}C_{01}$	$L = \frac{20 \lg k}{200 g k} - \frac{200 g k}{\partial e \kappa}$
2	W(p) = K(Tp+1) Дифференцирующее	$R_1$	$K = -\frac{R_{01}}{R_1}$ $C_1 = T_1 R_1$	L +20дБ/дек
3	$W(p) = \frac{K}{P}$ Интегрирующее	$X \longrightarrow R_1 \longrightarrow Y$	$K = -\frac{1}{R_1 C_0}$	$\begin{array}{c c} L & -20\partial E/\partial e\kappa \\ \hline k & \omega \end{array}$
4	$W(p) = \frac{K}{T^2 p^2 + 1}$ Вырожденное колебательное	Два апериодических звена с большими постоянными времени $T_1T_2 \ge 1u(-K_1K_2)$ и инвертирующего усилителя		$\begin{array}{c c} L & 20 \lg k \\ \hline & -40 \partial E \\ \hline & \partial e \kappa \end{array}$

#### Окончание табл. 1.2



Наибольшее применение в практических схемах для изменения динамических свойств систем (звеньев) находят параллельные контуры, осуществляющие отрицательную обратную связь, но возможно и использование положительной обратной связи; применяются также и прямые параллельные связи, используемые для компенсации ошибок по скорости и ускорению. Одним из преимуществ отрицательной обратной связи является ее способность компенсировать влияние нелинейностей и нестабильности характеристик основных звеньев на динамические свойства системы. Кроме того, она удобна тем, что в качестве входного сигнала используют мощный выходной сигнал, так как в выходных звеньях имеется уже усиленный сигнал, которого достаточно для питания корректирующей связи.

Входными сигналами последовательных и прямых параллельных корректирующих звеньев обычно являются маломощные входные сигналы и сигналы ошибки, что создает неблагоприятные условия для их применения. Смысл корректирующих цепей состоит в том, что с их помощью в закон управления вводится дополнительно к основному сигналу его производная и интеграл от него. Введение производных позволяет скомпенсировать большие постоянные времени, уменьшить инерционность системы. Появление сигнала по производной предваряет появление основного сигнала и форсирует действие сигнала. Введение, кроме первой, также второй производной создает форсировку не только по скорости, но и по ускорению. Включение в главную цепь интегрирующего звена изменяет порядок астатизма системы. В этом случае увеличивается точность системы, но вместе с тем снижается устойчивость.

Рассмотрим на типовых звеньях влияние обратных связей на их характеристики и динамические свойства. Обратные связи бывают гибкими и жесткими. Если в установившемся состоянии обратная связь не действует и сигнал обратной связи равен нулю, то такая связь называется гибкой (рис. 1.1, б). Она регулируется, если в цепи обратной связи устанавливаются динамические звенья. Если же обратная связь действует как в переходном, так и в установившемся режиме, то она называется жесткой (рис. 1.1, а).

Если интегрирующее звено охватить жесткой обратной связью, то оно приобретает свойства инерционного звена, т.е. превращается в инерционное, а его коэффициент усиления и постоянная времени уменьшаются, дифференцирующее звено тоже приобретает инерционные свойства, колебательное звено свойства почти не изменяет, уменьшается только коэффициент усиления.

Очень эффективным свойством улучшения качества системы является включение дифференцирующей цепи как в цепь обратной связи, так и в прямую цепь. Если инерционное звено охватывается гибкой обратной связью дифференцирующим звеном, характер звена не меняется, но коэффициент усиления уменьшается, а постоянная времени может быть уменьшена или увеличена в зависимости от соотношения постоянных времени ( $T_1/T_2$ ).

Если интегрирующее звено охватить дифференцирующим звеном в обратной связи, то интегрирующее звено превращается в инерционное, а дифференцирующее звено приобретает свойства колебательного, если в цепи обратной связи будет дифференцирующее звено. При охвате инерционного звена интегрирующим

звеном оно превращается в колебательное с дифференцирующими свойствами, а усилительное звено превращается в инерционное.

При введении параллельной связи эти звенья (система из двух – трех звеньев) приобретают дифференцирующие свойства.

# 3. Порядок выполнения работы

- 1. Получить у преподавателя вариант задания по приложению 1.
- 2. Изучить технические сведения.
- 3. Рассчитать ФЧХ и АЧХ заданных звеньев,
- 4. Получить модель звена на операционном усилителе и рассчитать параметры операционных усилителей.
- 5. Проанализировать поведение звеньев с отрицательной обратной связью, изменяя коэффициент обратной связи в диапазоне 0,1-10, построить зависимость (АЧХ и ФЧХ) замкнутой системы  $K_{oc}$  ( $K_{oc}$ = 0,1-10).
- 6. Получить модель звена обратной связи на операционном усилителе, получить передаточную функцию замкнутой системы и определить влияние звена в обратной связи на изменение характера системы в целом.
- 7. С помощью ЭВМ получить переходную характеристику звеньев и оценить влияние  $K_{oc}$  и постоянных времени  $T_{oc}$  на переходную характеристику системы.
  - 8. Ознакомиться с электрической схемой типовых звеньев.
- 9. Собрать схему исследуемого звена (усилительное, апериодическое устойчивое, дифференцирующее устойчивое 1 го рода, идеальное интегрирующее).
- 10. Подать на вход звена импульсное напряжение (на генераторе  $\Gamma 5 26$  установить частоту следования импульсов 50  $\Gamma$ ц, задержку 1 мс. длительность импульса 5 мс, амплитуду 1 В). Этот же сигнал подать на вход А осциллографа, выход звена подключить к каналу Б. Сравнить входной и выходной сигналы, определить коэффициент усиления звена и сравнить его с теоретическим значением.
- 11. На вход звена и канал А осциллографа подать синусоидальное напряжение, выход остается подключенным к каналу Б. Изменяя частоту входного сигнала от  $f_{min}$  до  $f_{max}$  (для диапазона 0 99 Гц с шагом 10 Гц, 1 10 кГц с шагом 1 кГц, свыше 10 кГц с шагом 10 кГц), измерить сдвиг фаз входного и выходного сигнала, снять зависимость амплитуды выходного сигнала от его частоты. По полученным данным построить графики АЧХ и ФЧХ исследуемого звена.
  - 12. Повторить пункты 8 10 для остальных звеньев.

# 4. Содержание отчета

- 1. Краткие теоретические сведения о типовых динамических звеньях.
- 2. АЧХ и ФЧХ заданных звеньев (графики и соответствующие арифметические выражения).
- 3. Зависимость коэффициентов усиления и постоянного времени звена от параметров обратной связи.
  - 4. Передаточные характеристики звеньев.

5. Схема моделей звеньев на усилителях постоянного тока.

.

# 5. Контрольные вопросы

- 1. Виды динамических звеньев.
- 2. Передаточная функция и характеристики звена.
- 3. Частотные характеристики системы.
- 4. Влияние обратной связи на характеристики звеньев.

# Лабораторная работа № 2. Преобразование структурных схем и определение устойчивости систем управления с помощью ЭВМ

# 1. Цель работы:

Изучить основные законы преобразования структурных схем линейных систем управления, получить передаточную функции системы, изучить основные способы определения устойчивости

# 2. Краткие теоретические сведения.

Система автоматического управления представляет собой совокупность устройств, основные функции которых заключаются в измерении регулируемой величины и выявлении отклонения ее от заданного значения, преобразования сигнала ошибки, формирования управляющего воздействия с целью устранения рассогласования. Структура системы графически отображает ее состав, входящие в систему элементы, связи между ними, точки приложения воздействия, пути распространения сигналов и в наиболее наглядной форме показывает математическую сторону преобразования сигналов, изменяющихся во времени. Методы структурных преобразований охватывают правила начертания структурных схем системы по заданным исходным данным, способы эквивалентных преобразований заданных структур для выявления передаточных свойств системы между характерными точками схемы при ее анализе и, наконец, рекомендации по целенаправленному изменению структуры системы при ее синтезе.

При анализе устойчивости, точности и переходных процессов системы управления классифицируются не по конструктивному оформлению, а по их динамическим свойствам, по их месту и роли в преобразовании сигналов, осуществляющих взаимодействие между составными частями системы автоматического управления, поэтому одним из основных элементов структурных схем систем является динамический элемент, осуществляющий некоторую функциональную или операторную связь между входными и выходными сигналами. Обычно эта функциональная связь математически описывается при помощи дифференциальных или дифференциально — разностных уравнений, теории автоматического управления. Наряду с таким классическим способом описания математических моделей широко применяются способы математического описания, основанные на введении понятий передаточной функции.

Передаточной функцией W(p) линейной динамической системы называется отношение преобразования Лапласа Y(p) величины сигнала y(t) на выходе системы к преобразованию Лапласа X(p) воздействия x(p) на ее входе при нулевых начальных условиях.

Передаточная функция обладает следующими основными свойствами:

1. Передаточная функция W(p) для систем с сосредоточенными параметрами представляет собой дробно — рациональную функцию вида (1), причем порядок m числителя не превышает порядка n знаменателя:

$$W(p) = \frac{Y(p)}{X(p)} = \frac{b_m p^m + b_{m-1} p^{m-1} + \dots + b_1 p + b_0}{a_n p^n + a_{n-1} p^{n-1} + \dots + a_{1p} + a_0}$$
(2.1)

- 2. Все коэффициенты  $b_m$ ,  $b_{m-1}$  ... $b_{0.}$ ;  $a_n$ ,  $a_{n-1}$ ... $a_0$  передаточной функции вещественные. Это следует из того, что они представляют собой функции от параметров системы, которые могут быть только вещественными.
- 3. Невещественные нули (корни числителя) и полюсы (корни знаменателя) передаточной функции могут быть лишь комплексно-сопряженными.
- 4. Все полюсы передаточной функции W(p) устойчивой системы расположены в левой полуплоскости комплексной плоскости p (условие устойчивости).

Структурная схема системы может быть задана как во временной области, в которой условия преобразования сигналов описываются дифференциальными уравнениями, так и в области преобразований по Лапласу, где справедливы алгебраические соотношения. В связи с тем, что проводить алгебраические преобразования проще, чем оперировать дифференциальными уравнениями, метод описания структурных схем в области преобразований получил более широкое распространение.

Структурные схемы состоят из следующих структурных элементов, начертания которых показаны на рис. 2.1:

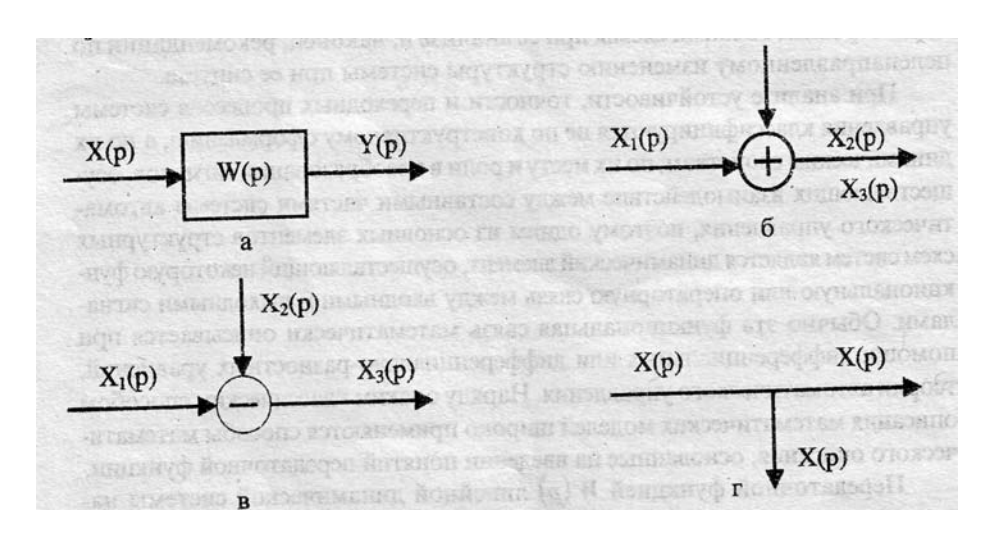


Рис.2.1. Графические обозначения элементов структурных схем: а – динамического: б – сравнения со знаком «плюс»; в – сравнения со знаком «минус»; г – разветвления

динамических (рис. 2.1, а), осуществляющих некоторую функциональную или операторную связь между входным и выходным сигналами;

сравнения (рис. 2.1, б, в), в которых происходит сложение (рис.2. 1, б)  $[X_3(p) = x_1(p) + x_2(p)]$ и вычитание(рис.2.1 в)  $[X_3(p) = x_1(p) - x_2(p)]$  сигналов;

точек разветвления на несколько путей, ведущих к различным точкам системы (рис.2.  $1, \Gamma$ );

связей (стрелок) и линий структурной схемы, указывающих точки приложения и направления сигналов.

Для нахождения общей передаточной функции системы, вообще говоря, нужно составить соответствующую систему дифференциальных уравнений, применить к ней преобразования Лапласа и решить полученную систему алгебраических уравнений относительно интересующей переменной. Однако более удобным для указанной цели является способ преобразования структурной схемы, который позволяет заменить громоздкое решение совместных уравнений наглядными преобразованиями, имеющими хорошую геометрическую интерпретацию.

Основные правила преобразования структурных схем приведены в табл.2. 1.

Автоматические системы при нормальной эксплуатации должны поддерживать определенный режим работы объекта регулирования при действии на них многих возмущающих факторов. Такое поведение может быть достигнуто лишь в системах автоматического регулирования, обладающих устойчивостью по отношению к этим воздействиям.

Устойчивость системы означает, что силы изменения входного сигнала или какого-либо возмущения, начальных условий или параметров не приведут к значительным изменениям выходного сигнала.

Важнейшая заслуга русского ученого А.М.Ляпунова заключается в том, что он указал подход к определению свойства устойчивости, не связанный с решением дифференциальных уравнений. Этот подход основан на простой идее, известной из механики: в положении равновесия система имеет минимум потенциальной энергии. Известно, что минимум потенциальной энергии всегда можно считать равным нулю. Тогда в любой окрестности положения равновесия потенциальная энергия будет положительной. Применение функций, которые положительны всюду, за исключением положения равновесия, к анализу устойчивости и лежит в основе метода, разработанного А.М.Ляпуновым. Он доказал следующую теорему:

Если вещественные части всех корней характеристического уравнения системы первого приближения отрицательны, то нулевое решение системы асимптотически устойчиво независимо от членов разложения выше первого порядка.

Исходную систему в общем случае нелинейных уравнений в окрестности какой – либо точки можно представить в следующем виде:

$$\frac{dx_1}{dt} = a_{11}x_1 + \dots + a_{1n}x_n + R_1(x_1, x_2 \dots x_n)$$

$$\frac{dx_2}{dt} = a_{21}x_1 + \dots + a_{2n}x_n + R_2(x_1, x_2 \dots x_n)$$

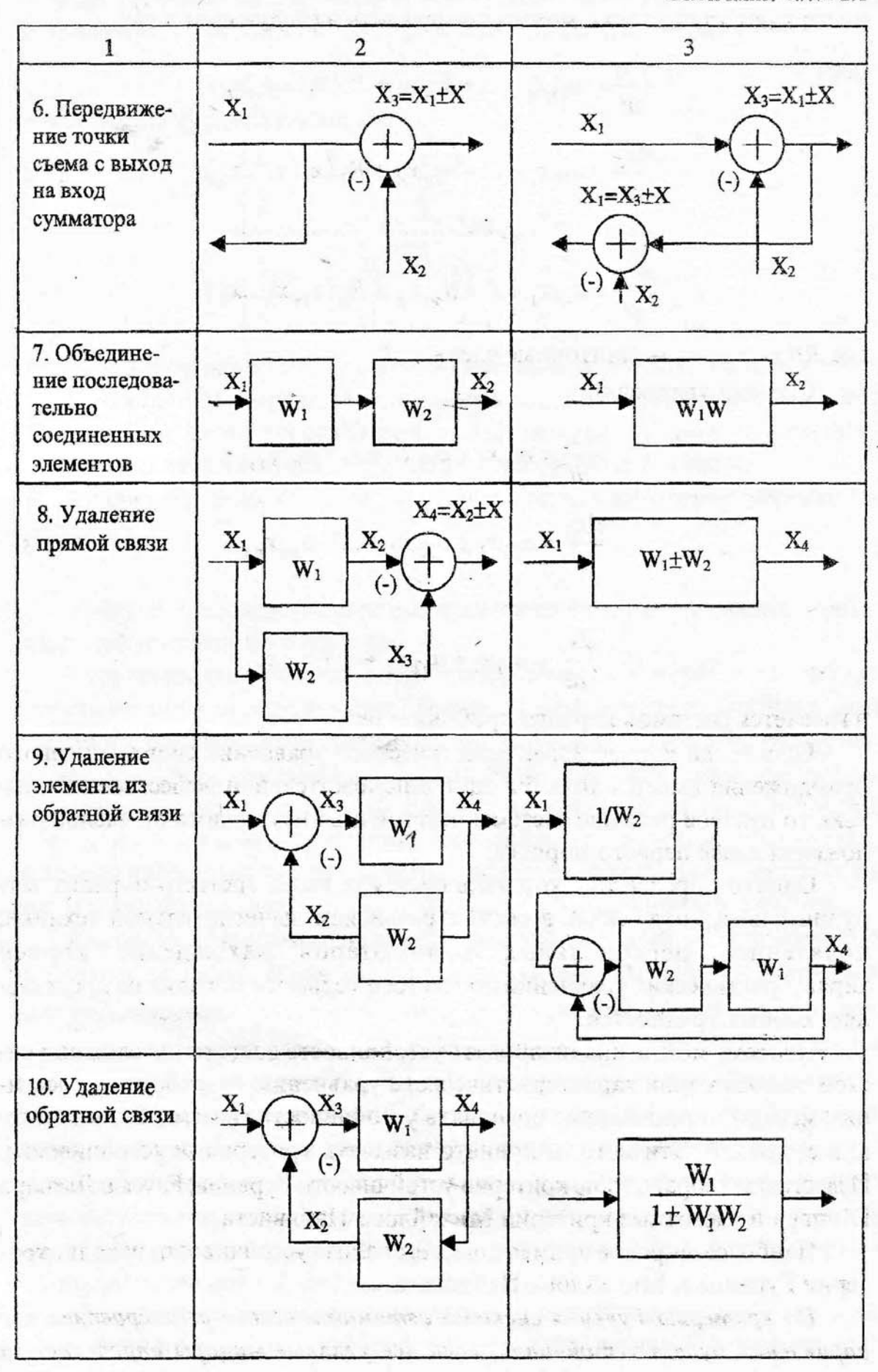
$$\frac{dx_n}{dt} = a_{n1}x_1 + \dots + a_{nn}x_n + R_n(x_1, x_2 \dots x_n)$$
(2.2)

где  $R_i(x_1, x_2 ... x_n)$  – остаточные члены.

Таблица 2.1

Преобразование структурных схем

Вид	Первоначальная схема	Эквивалентная схема
преобразования	Editor and the 2 Apr. Addition A.	
1. Передвижение сумматора со входа	$X_1$ $X_1+X_2$ $W_1$	$X_1 \longrightarrow X_2 \longrightarrow X_3 = X_1 + X_2 \longrightarrow X_3 = X_1 + X_2 \longrightarrow X_4 \longrightarrow X_4 \longrightarrow X_4 \longrightarrow X_5 $
элемента на его выход		$X_2$ $W_1$ $X$
2. Передвижение сумматора с выхода элемента на его вход	$X_1$ $X_2$ $X_4=X_1+X$ $X_3$	$X_1 \pm X$ $W$ $X_4$ $X_3$ $1/W$ $X_3$
3. Передвижение узла с выхода на вход элемента	$X_1$ $W$ $X_2$ $X_2$	$X_1$ $X_2$ $W_1$ $X_2$ $W_1$
4. Передвижение узла с входа на выход элемента	$X_1$ $W_1$ $X_2$ $X_1$	$X_1$ $W_1$ $X_2$ $X_1$ $1/W_1$ $X_2$
5. Передвижение узла с выхода на вход сумматора	$X_1$ $X_3=X_1\pm X_2$ $X_3$ $X_3$	$X_3=X_1\pm X$ $X_3=X_1\pm X$ $(-)$ $X_2$ $X_3=X_1$ $X_2$



#### Система уравнений:

$$\frac{dx_1}{dt} = a_{11}x_1 + a_{12}x_2 + \dots + a_{1n}x_n 
\frac{dx_2}{dt} = a_{21}x_1 + a_{22}x_2 + \dots + a_{2n}x_n 
\frac{dx_n}{dt} = a_{n1}x_1 + a_{n2}x_2 + \dots + a_{nn}x_n$$
(2.3)

называется системой первого приближения.

Если среди корней характеристического уравнения системы первого приближения имеется хотя бы один с положительной вещественной частью, то нулевое решение системы неустойчиво независимо от членов разложения выше первого порядка.

Однако определение корней в системах выше третьего порядка затруднительно, хотя сейчас в связи с развитием вычислительной техники нахождение корней характеристических уравнений до шестого — седьмого порядка не представляет значительных трудностей.

Поэтому можно анализировать устойчивость достаточно сложных систем, находя корни характеристического уравнения. Разработаны косвенные методы, позволяющие оценивать устойчивость системы без вычисления ее корней. Эти методы принято называть критериями устойчивости. Известны алгебраические критерии устойчивости Гурвица, Рауса и Льенара — Шипара и частотные критерии Михайлова и Найквиста.

Наиболее широкое применение для анализа устойчивости находят критерии Гурвица и Михайлова – Найквиста.

По критерию Гурвица система автоматического регулирования или управления будет устойчивой, если все угловые миноры определителя Гурвица, составленного из коэффициентов характеристического у равнения, положительны. Например, для характеристического уравнения

$$D(p) = a_n p^n + a_{n-1} p^{n+1} + \dots + a_1 p + a_0 = 0$$
(2.4.)

# определитель Гурвмца имеет вид

# а угловой минор образуется путем очерчивания -х строк и столбцов.

Вычисление определителей Гурвица для характеристических уравнений высокого порядка представляет немалые трудности, поскольку необходимо найти n определителей для уравнения n — го порядка.

Анализ матрицы Гурвица позволяет сделать некоторые упрощения, поскольку

$$\Delta_1 = a_{n-1}\Delta_n = \Delta_{n-1}a_n \tag{2.5}$$

Однако непосредственное вычисление каждого из оставшихся определителей достаточно трудоемко.

Существует последовательность преобразований, которая позволяет вычислить все миноры определителя Гурвица до n-1 включительно. Частотные критерии устойчивости получили наиболее широкое практическое применение, так как, во — первых, они позволяют судить об устойчивости замкнутой системы по более простой передаточной функции разомкнутой системы W(p), во — вторых, анализ устойчивости можно выполнить и по экспериментально определенным частотным характеристикам, в — третьих, с помощью частотных характеристик можно судить и о качестве переходных процессов в системах.

Критерий Михайлова-Найквиста позволяет судить об устойчивости замкнутой системы. В нем говорится: замкнутая система автоматического регулирования будет устойчива, если годограф W(jw) разомкнутой системы, имеющий т полюсов в первой полуплоскости, при увеличении 0 от 0 до ∞ охватывает точку (-1, j0) т/2 раз в положительном направлении. Для практического применения более удобен следующий критерий устойчивости. Система автоматического регулирования, имеющая в разомкнутом состоянии т полюсов в первой полуплоскости, будет устойчива в замкнутом состоянии, если разность между числом положительных и отрицательных переходов годографа разомкнутой системы через отрезок действительной оси (-1, -jw) равна т/2.

При анализе систем автоматического регулирования чаще всего используются логарифмические частотные характеристики. По характеру поведения этих характеристик можно судить об устойчивости замкнутой системы. Рассмотрим первую формулировку критерия устойчивости, основанного на логарифмических частотных характеристиках.

Система автоматического регулирования, имеющая передаточную функцию с устойчивыми звеньями, будет устойчива в замкнутом состоянии, если на частоте среза  $\mathbf{w}_c$  логарифмическая фазовая характеристика имеет положительный запас устойчивости, а ее амплитудная характеристика при этом обеспечивает запасы устойчивости по модулю,

Сформулируем второй критерий устойчивости. Для того чтобы система автоматического регулирования, разомкнутая передаточная функция которой состоит из передаточных функций устойчивых звеньев, была устойчивой в

замкнутом состоянии, необходимо и достаточно, чтобы разность между числом положительных (сверху вниз) и отрицательных (снизу вверх) переходов фазовой характеристики линии равнялась нулю при значении частот, для которых ЛАЧХ неотрицательна.

<u>Третий критерий</u> формулируется следующим образом. Для того, чтобы система автоматического регулирования, разомкнутая передаточная функция которой имеет т неустойчивых звеньев, была устойчивой в замкнутом состоянии, необходимо и достаточно иметь разность между числом положительных и отрицательных переходов фазовой характеристики линии -p, равную m/2, при значении частот, для которых JAYX положительна. Для систем автоматического регулирования можно пользоваться следующими нормами запасов устойчивости, гарантирующими нормальную работу систем: по фазе g>24, по модулю  $H_m>12$  дБ.

Для определения устойчивости после преобразования структурной схемы необходимо найти передаточную функцию разомкнутой и замкнутой системы. Передаточную функцию системы при любом соединении звеньев можно представить в виде выражения

$$W(p) = \frac{\prod k_i \prod (T_i p + 1) \prod (T_i^2 + 2\chi T_i p + 1)}{p^{\nu} \prod (T_i p + 1) \prod (T_i^2 p^2 + 2\xi N_i p + 1)}$$
(2.6)

Применим формальную замену p на j и получим частотную передаточную функцию системы  $W(j_w)$ ;

$$W_{_{p}}(j\omega)$$
 =  $U(\omega)$  +  $jV(\omega)$  — для разомкнутой системы;

$$W_3(j\omega) = P(\omega) + jQ(\omega)$$
 — для замкнутой системы.

Если 
$$W(j\omega) = \frac{a+jb}{c+jd}$$
, то  $U(\omega) = \frac{ac+bd}{c^2+d^2}$ ,  $V(\omega) = \frac{bc-ad}{c^2+d^2}$ 

Амплитудно – частотная характеристика разомкнутой системы

$$H(\omega) = \sqrt{U^2 + V^2} = \sqrt{\frac{a^2 + b^2}{c^2 + d^2}},$$
(2.7)

а фазочастотная характеристика:

$$\varphi(\omega) = arctg \frac{U}{V} = arctg \frac{ac + bd}{bc - ad}$$
 (2.7a)

Передаточную функцию замкнутой системы в общем виде можно представить в следующем виде:

$$W_{3}(j\omega) = \frac{W_{p}(j\omega)}{1 + W_{p}(j\omega)W_{cc}(j\omega)}$$
(2.8)

$$W_{oc}(j\omega) = m + j\mathbf{n} \tag{2.9}$$

Тогда

$$P(\omega) = \frac{U[1 + Um - Vn] + V(U_n + V_m)}{[1 + U_m - V_n]^2 + (Un + Vm)^2}$$
(2.10)

$$Q(\omega) = \frac{V[1 + U_m - V_n] + U(Un + Vm)}{[1 + Um + Vn]^2 + [Un + Vm]^2}$$
(2.11)

Построим амплитудно — фазочастотную характеристику  $(A\Phi YX)$  замкнутой системы в комплексной области и найдем значение P(w). Для разомкнутой системы определим  $\Phi YX$  и AYX.

Фазочастотную характеристику определим по выражению (2.7, a). На фазочастотной характеристике находим значение, при котором  $\varphi(\omega_m) = -180^\circ$ .

На этой частоте по амплитудно — частотной характеристике определим  $H(w_m)$ . В области частот, равных  $3w_c$  и  $0.3w_c$  определим значение H(w) и оценим наклон AYX в этой области частот.

Эти операции по нахождению A(w) и y(w) проведем и для замкнутой системы регулирования и оценим, как изменится коэффициент усиления системы и запас устойчивости по фазе и амплитуде.

Полученные дискретные значения сведем в табл. 2.2.

Таблица 2.2

Характеристики замкнутой системы регулирования

	P	Γ		r - J r	·
W	m	n	H	j	P

В качестве примера рассмотрим следующую передаточную функцию:

$$W(j\omega) = \frac{(jT_1\omega + 1)(jT_2\omega + 1)}{(jT_3\omega + 1)(\omega T_4\omega + 1)} = \frac{(1 - T_1T_2\omega^2) + j(T_1 + T_2)\omega}{(1 - T_3T_4\omega^2) + j(T_3 + T_4)\omega}$$

$$a = 1 - T_1 T_2 \omega^2$$
  $b = (T_1 + T_2) \omega$ 

$$c = 1 - T_3 T_4 \omega^2$$
  $d = (T_3 + T_4)\omega$ 

Когда мы подставим эти значения для U(w), Y(w), получим полином в виде

$$A = \frac{a_n \omega^n + a_{n-1} w^{n-1} + \dots + a_0}{b_m \omega^m + b_{m-1} \omega^{m-1} + \dots + b_0}$$
(2.12)

Подставляя соответствующие коэффициенты для  $w_n$  , решаем этот полином на ЭВМ для значения w от нуля до  $\omega = \omega_{\max} 10$  , где  $\omega_{\max} = \frac{1}{T_{\min}}$  .

Амплитудно – частотную характеристику получим по следующим выражениям.

Для приведенного примера:

$$H(\omega) = \sqrt{\frac{a^2 + b^2}{c^2 + d^2}} = \sqrt{\frac{(1 - T_1 T_2 \omega^2)^2 + (T_1 + T_2)^2 \omega^2}{(1 - T_3 T_4 \omega^2)^2 + (T_3 + T_4)^2 \omega^2}}$$
(2.13)

$$H^{2}(\omega) = \frac{T_{1}^{2}T_{2}^{2}\omega^{4} + (T_{1}^{2} + T_{2}^{2})\omega^{2} + 1}{T_{2}^{3}T_{2}^{4}w^{4} + (T_{3}^{2} + T_{4}^{2})\omega^{2} + 1}$$

Для нахождения  $\omega_c H(\omega_c) = 1$ 

$$A = \frac{\omega^4 a_4 + \omega^2 a_2 + a_0}{\omega^4 b_4 + \omega^2 b_2 + b_0}$$

$$A(\omega_c) = 1$$

$$(T_1^2 T_2^2 - T_3^2 T_4^2)\omega_c^2 = T_3^2 + T_4^2 - T_1^2 - T_2^2$$

Отсюда находим w<sub>c</sub>.

Таким же способом находим  $w_m$ .

$$\varphi_m = -180^0$$

$$\varphi_{3}(\omega) = arctg \frac{P(\omega)}{Q(\omega)}$$

$$\frac{P(\omega_k)}{Q(\omega_m)} = -1$$

$$a_4 = T_1^2 T_2^2$$
,  $a_2 = T_1^2 + T_2^2$ ,  $a_4 = T_3^2 T_4^2$ ,  $a_5 = T_3^2 + T_4^2$ ,  $a_6 = 1$ ,  $a_6 = 1$ 

Используем программу для решения характеристического уравнения и определим значения  $H^2(w)$ , а следовательно и H(w); затем таким же образом решим полином для f(w) и найдем фазочастотную характеристику.

Для того чтобы оценить влияние коэффициента усиления системы K, коэффициента обратной связи  $K_{oc}$  и постоянных времени  $T_{i}$ , все коэффициенты

полинома, т.е. значения, выраженные в параметрах звеньев, должны быть скомпонованы в табл. 2.3.

Таблица 2.3

# Коэффициенты полиномов

Ī	W	$a_1$	$b_1$	$c_1$	$d_1$

#### 3. Порядок выполнения работы

- 1. Изучить теоретические сведения к лабораторной работе.
- 2. Получить у преподавателя структурную схему системы автоматического управления по приложению 2.
- 3. Преобразовать структурную схему и вычислить передаточную функцию системы.
- 4. Рассчитать и вычислить на ЭВМ *АЧХ* замкнутой и разомкнутой системы, при этом составить таблицы для коэффициентов полинома, определить влияние коэффициентов звена обратной связи.
- 5. Рассчитать и вычертить на ПЭВМ  $\Phi YX$  замкнутой и разомкнутой системы, при этом составить таблицы для коэффициентов полинома, определить влияние коэффициентов обратной связи.
- 6. Определить  $w_c$ ,  $w_m$  и запасы устойчивости по фазе к амплитуде на этих частотах.
  - 7. Определить наклон AYX в области частот среза  $(0.3 \text{ w} < \text{w}_c < 3 \text{ w})$ .
- 8. Рассчитать вещественную частотную характеристику P(w) на частотах w когда O(w)=0, и определить, устойчива система или нет.

# 4. Содержание отчета

- 1. Краткие теоретические сведения о преобразовании структурных схем и устойчивости.
  - 2. Преобразования и задания структурных схем.
  - 3. Передаточная функция системы.
  - 4. Таблица коэффициентов характеристического уравнения.
  - 5.  $A \, YX$  и  $\Phi \, YX$  замкнутой и разомкнутой системы.
  - 6. Значения частот  $w_c$ ,  $w_m$  и наклон  $\Pi A \Psi X$  в области  $w_c$ .
  - 7. Запас устойчивости по фазе  $Df(w_c)$  и амплитуде  $H(w_c)$ .
  - 8. Вещественная частотная характеристика P(w) замкнутой системы.

# 5. Контрольные вопросы

- 1. Что такое передаточная функция системы управления и в каком виде система может быть описана?
  - 2. Как обозначаются элементы структурных схем?
- 3. Объясните основные правила преобразования структурных схем систем управления.
  - 4. Критерии устойчивости САУ.
  - 5. Запасы устойчивости по фазе и амплитуде.

# Лабораторная работа № 3. Исследование динамических свойств линейных систем автоматического управления

# 1. Цель работы:

Исследование качественных показателей систем автоматического регулирования на ЭВМ.

## 2. Краткие теоретические сведения

Устойчивость работы САУ является необходимым, но недостаточным условием. Система кроме устойчивости еще должна обладать определенным качеством, определенными техническими условиями на разработку САУ.

Необходимо отметить, что нормы запасов устойчивости определяют показатели качества систем автоматического регулирования.

Следует иметь в виду, что показатели переходного процесса определяются среднечастотной частью характеристики: время регулирования обратно пропорционально частоте среза (быстродействие системы); перерегулирование, колебательность процесса тем меньше, чем больше запас устойчивости по фазе, чем протяженнее среднечастотная часть  $\Pi A \Psi X$ .

Точность установившегося режима зависит в первую очередь от коэффициента усиления и порядка астатизма системы и связана с низкочастотной частью  $\Pi A Y X$ . Коэффициент  $K_{\nu}$ , определяющий ошибку системы в установившемся режиме (при постоянном входном сигнале), численно равен величине, обратной частоте  $\omega = 1/K_{\nu}$ . Эта частота получается при продолжении низкочастотной части  $\Pi A Y X$  до оси частот (рис. 3.1).

Наиболее просто сведения о критериях качества определяются из кривой переходного процесса (рис. 3.2), получающейся на выходе системы при подаче на вход ступенчатого воздействия. О степени устойчивости судят по величине перерегулирования s, о быстродействии — по времени регулирования (времени переходного процесса).

Коэффициент усиления  $K_{\nu}$  можно определить по кривой переходного процесса при подаче на вход системы скачка скорости. Этот метод определения качественных показателей удобен при экспериментальном определении качественных показателей системы.

Качество САУ характеризуется следующими показателями (см. рис. 3.2):

1) максимум перерегулирования:

$$\sigma_{\text{max}} = \frac{h_{\text{max}} - h_{\text{ycr}}}{h_{\text{ycr}}} \cdot 100\% \tag{3.1}$$

- 2) время регулирования  $t_p$ :
- 3) число колебаний N, регулируемых в течение времени  $t_p$ ;

- 4) собственная частота колебаний системы  $\omega_0 \frac{2\pi}{T_0}$ , где  $T_0$  период собственных колебаний системы;
  - 5) логарифмический декремент затухания

$$d = \ln \frac{q_{i \max}}{q_{i+1 \max}} \tag{3.2}$$

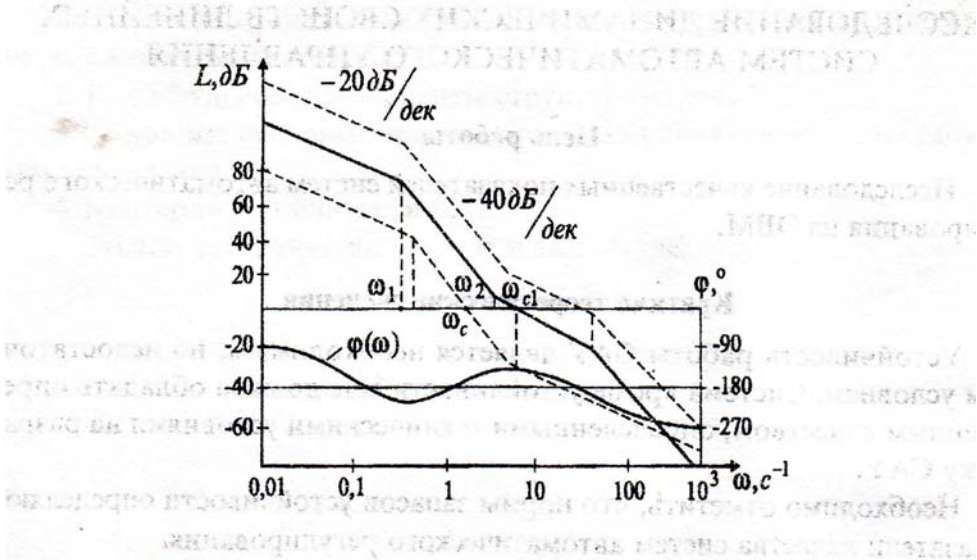


Рис. 3.1. Логарифмическая амплитудная и фазочастотная характеристики для системы автоматического регулирования

Company yersecondition of a company of the company

Сведуют или да ваду, что доказатсяю время экупли провосси опредижения образили образу.

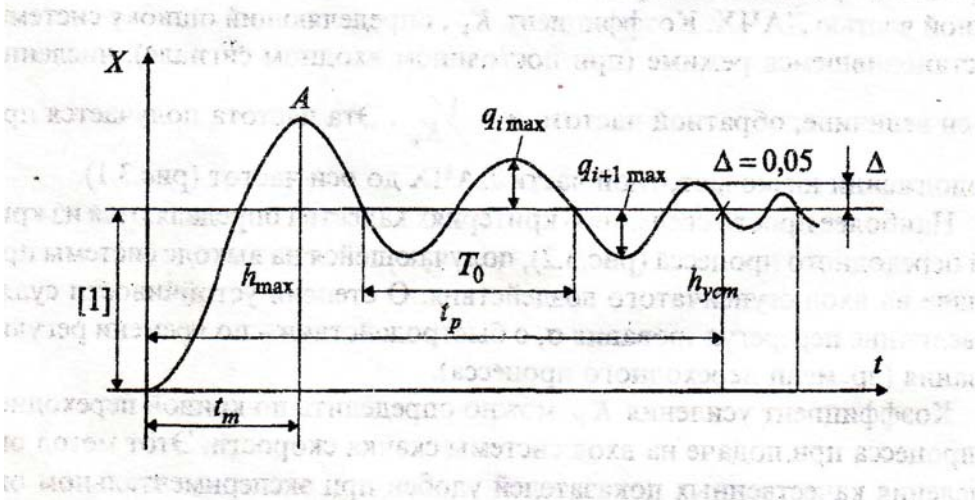


Рис. 3.2. Характеристики переходного процесса при тепловом единичном возмущении

6) максимальная скорость отработки регулируемой величины:

$$\left[\frac{dx}{dt}\right]_{\text{max}}$$

Можно по показателям переходного процесса  $s_{max}$ ,  $t_p$ ,  $T_0$ , используя приближенные аппроксимирующие зависимости, оценить частоту среза и запас устойчивости или, наоборот, определить  $s_{max}$ ,  $t_p$ ,  $T_0$ , имея  $w_c$  и  $Df(w_c)$ :

$$\sigma_{\text{max}}(\%) = 73 - \Delta\varphi(\omega_c) \tag{3.3}$$

$$t_p = \frac{7...9}{\omega_c} \tag{3.4}$$

$$T_0 = \frac{2\pi}{\omega_c \cos \frac{\Delta \varphi(\omega_c)}{2}} \tag{3.5}$$

Рассмотрим связи между переходными процессами и амплитудными логарифмическими характеристиками для простейших систем первого и второго порядков. Обе системы в разомкнутом состоянии содержат одно интегрирующее звено. Для системы первого порядка частота среза  $w_c$  равна коэффициенту усиления K, где T = 1/K — постоянная времени экспоненты переходной функции замкнутой системы.

В системе первого порядка время регулирования можно выразить через  $w_c$  следующим образом:

$$t_p = 3T = \frac{3}{\omega_c} = \frac{\pi}{\omega_c} \tag{3.6}$$

Система второго порядка в замкнутом состоянии представляет собой колебательное звено, или последовательно соединенные два апериодических звена. Передаточная функция замкнутой системы может быть представлена:

$$W(p) = \frac{1}{T^2 p^2 + 2\xi T p + 1}$$
(3.7)

где 
$$T=\sqrt{\frac{T_1}{K}},\quad \xi=rac{1}{\sqrt{2T_1K}}$$
 .

Для системы второго порядка при  $\frac{1}{T_1} = \omega_1 < \omega_c < K$  затухание колебаний  $\times$  в замкнутой системе будет всегда меньше 0,5, при  $\omega_1 < \omega_c < K$  затухание x = 0,5 и при

 $\omega_{\text{\tiny l}} < \omega_{\text{\tiny C}} < K$  затухание х больше 0,5. При оптимальном коэффициенте затухания  $\xi = \frac{\sqrt{2}}{2}$  отношение частот  $\frac{\omega_{\text{\tiny l}}}{\omega}$  равно 2.

Чем больше отношение  $\frac{\omega_1}{\omega_c}$ , тем выше коэффициент затухания, тем ближе переходная функция к экспоненте с постоянной времени  $T=1/\omega_c$ . При отношении

вует формуле, а перерегулирование практически отсутствует. Можно сделать вывод: для того, чтобы переходный процесс не был колебательным, частота среза должна находиться на участке ЛАХ с наклоном 20 дБ/дек. Это справедливо и для более сложных систем.

Частотные методы исследования систем управления широко используют в инженерной практике. Применение этих методов позволяет определить такие важные показатели качества, как быстродействие, перерегулирование, колебательность процесса. При воздействии на систему единичной ступенчатой функции

t) выходная величина, являющаяся переходной характеристикой системы

ристику замкнутой системы:

$$h(t) = \frac{2}{\pi} \int_{0}^{\infty} \frac{P(\omega)}{\omega} \sin \omega t d\omega \tag{3.8}$$

где P(w) — вещественная частотная характеристика замкнутой САУ.

ВНИМАНИЕ! Вещественная частотная характеристика должна определяться для замкнутых систем с жесткой обратной связью.

Самые различные системы имеют приблизительно одинаковые переходные процессы, если у них примерно одинаковые частотные характеристики.

Разница в переходных процессах тем меньше, чем при больших частотах наблюдается различие в частотных характеристиках.

Изучение системы необязательно проводить во всем диапазоне частот от 0 до  $\infty$ . Достаточно ограничиться областью так называемых существенных частот (иначе называемых областью пропускания частот), соответствующих достаточно большим значениям ординат P(w). Обычно считается, что если при некотором w соблюдается неравенство, то начиная с этой частоты вид частотной характеристики можно не учитывать.

Значение переходной функции h(0) в начальный момент времени равно конечному значению вещественной частотной характеристики. Установившееся конечное значение переходной функции  $h(\infty)$  равно начальному значению P(0) частотной характеристики.

Чтобы величина перерегулирования в статической системе не превышала 18% от статического отклонения:

$$\frac{X_{\text{max}} - X_{\infty}}{X_{\infty}} \cdot 100\% \le 18\%$$

достаточно, чтобы P(w) была положительной невозрастающей функцией. Чтобы переходный процесс протекал монотонно, достаточно, чтобы производная  $\frac{dP}{d\omega}$  представляла собой отрицательно убывающую по абсолютной величине непрерывную функцию от w. Признаком немонотонности процесса и наличия перерегулирования является условие  $|P(\omega)| < P(0)$ . Если P(w) имеет максимум и ее можно представить как разность двух невозрастающих положительных непрерывных функций, каждая из которых удовлетворяет условию монотонности, то величина перерегулирования оценивается

$$\sigma \le \frac{1{,}18P_{\text{max}} - P(0)}{P(0)} \cdot 100\%$$

Если изменить масштаб вдоль оси P в n раз, то масштаб кривой переходного процесса изменится вдоль оси h тоже в n раз. Если увеличить или уменьшить масштаб вдоль оси w в n раз, то масштаб x(t) уменьшится или увеличится в то же число раз.

Другими словами, если вещественной частотной характеристике P(w) соответствует переходная функция, то вещественной частотной характеристике  $P(n \cdot w)$  будет соответствовать переходная функция x(t/n). Если P(w) имеет высокий и острый пик при частоте  $w_K$ , то переходный процесс содержит медленно затухающие колебания этой частоты.

Склонность системы к колебаниям тем больше, а затухание колебаний тем меньше, чем острее и выше пик, Основным инженерным методом построения переходной характеристики является метод трапеций. Построение переходного процесса осуществляется следующим образом:

- а) по логарифмическим частотным характеристикам разомкнутой системы с жесткой обратной связью, при использовании номограммы замыкания (рис. 3.3)  $P(\omega) = F[L(\omega)\varphi(\omega)]$ , строится вещественная частотная характеристика замкнутой системы с жесткой обратной связью;
  - б) P(w) разбивается на трапеции;
- в) для каждой трапеции определяется коэффициент наклона как отношение и по нему из таблицы функций (табл. 3.1) определяют значение;
- г) на общем графике строятся для каждой трапеции соответствующий переходный процесс с учетом знака начальной ординаты. При этом каждый табличный интервал времени уменьшается в  $\omega_{n_i}$  раз, а каждая табличная ордината увеличивается в  $P_i(0)$  раз;
- д) суммируются ординаты всех построенных кривых и строится результирующий переходный процесс h(t).

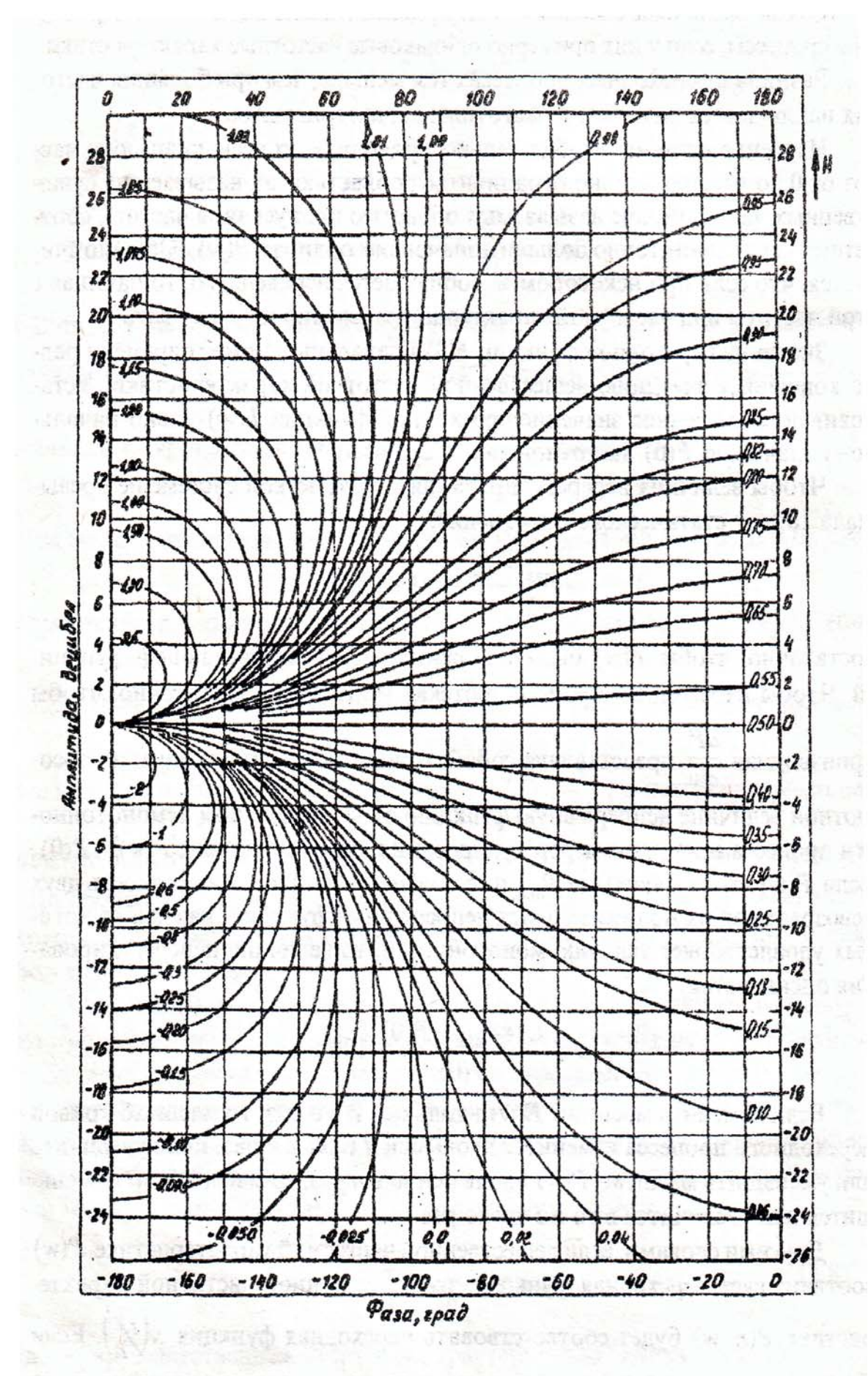


Рис. 3.3. Номограмма замыканий

# Единичные h-функции для трапеции

40.71	20 %	109		(8-9-E	W 11	9 4 4				18 17 t
τχ	0,0	0, 05	0,10	0,15	0,20	0,25	0,30	0,35	0,40	0, 45
0,0	0,000	0,000	0,000	0,000	0,000	0,000	0,000	0,000	0,000	0,000
0,5	0,138	0,165	0,176	0,184	0,192	0,199	0,207	0,215	0,223	0,231
1,0	0,310	0,326	0,340	0,356	0,371	0,386	0,401	0,417	0,432	0,447
1,5	0,449	0,469	0,494	0,516	0,538	0,560	0,594	0,603	0,617	0,646
2,0	0,572	0,597	0,628	0,655	0,683	0,709	0,681	0,761	0,786	0,810
2,5	0,674	0,705	0,797	0,833	0,867	0,833	0,839	0,891	0,938	0,943
3,0	0,755	0,790	0,828	0,863	0,896	0,928	0,958	0,987	1,013	1,038
3,5	0,783	0,853	0,892	0,928	0,963	0,994	1,024	1,050	1,074	1,095
4,0	0,857	0,896	0,938	0,974	1,008	1,039	1,060	1,090	1,107	1,124
4,5	0,883	0,923	0,960	0,997	1,029	1,057	1,080	1,100	1,115	1,129
5,0	0,896	.0,936	0,978	0,012	1,042	1,067	1,087	1,103	1,112	1,117
5,5 -	0,900	0,940	0,986	1,019	1,046	1,067	1,083	1,093	1,095	1,197
6,0	0,904	0,943	0,982	1,013	1,037	1,054	1,065	1,070	1,068	1,062
6,5	0,904	0,942	0,980	1,009	1,030	1,043	1,050	1,049	1,043	1,033
7,0	0,904	0,944	0,979	1,006	1,024	1,035	1,037	1,033	1,023	1,009
7,5	0,907	0,945	0,980	1,006	1,019	1,025	1,025	1,017	1,005	0,989
8,0	0,910	0,951	0,985	1,008	1,020	1,024	1,021	1,012	0,995	0,981
8,5	0,918	0,956	0,989	1,010	1,021	1,022	1,018	1,007	0,992	0,977
9,0	0,924	0,965	0,997	1,016	1,025	1,025	1,018	1,006	0,992	0,978
9,5	0,932	0,972	1,004	1,022	1,029	1,027	1,019	1,006	0,993	0,982
10,0	0,939	0,978	1,009	1,025	1,031	1,027	1,019	1.006	0,993	0,987
10,5	0,946	0,985	1,013	1,028	1,033	1,028	1,017	1,005	0,993	0,991
11,0	0,947	0,988	1,015	1,029	1,031	1,025	1,014	1,002	0,993	0,991
11,5	0,949	0,988	1,016	1,027	1,028	1,021	1,010	0,999	0,991	0,989
12,0	0,950	0,988	1,015	1,025	1,024	1,015	1,004	0,994	0,988	0,987
12,5	0,950	0,989	1,013	1,022	1,019	1,010	0,999	0,990	0,986	0,986
13,0	0,950	0,989	1,012	1,019	1,015	1,005	0,994	0,986	0,985	0,987
13,5	0,950	0,990	1,011	1,017	1,011	1,000	0,990	0,983	0,984	0,988
14,0	0,952	0,989	1,011	1,016	1,009	0,997	0,988	0,983	0,985	0,991
14,5	0,954		1,012				0,987		0,988	
15,0	0,956	0,993	1,012	1,014	1,007	0,995	0,988		0,991	1,000
15,5	0,959	0,995	1,014	1,014	1,006	0,995	0,989	0,988	0,996	1,004
16,0	0,961	0,997	1,015	1,014		0,995	0,991	0,992		1,007
16,5	0,964	0,999	1,016	1,014	1,005	0,995	0,993	0,905		1,009
17,0	0,965	1,001	1.016		1,005	0,995	0,994	0,997	1,005	
17,5	0,966	1,002	1,015		1,003	0,995	0,994	0,998	1,006	1,010
18,0	0,966	1,002	1,015	1,011	1,002	0,995	0,995	1,001	1,008	1,010
18,5	0,966	1,001	1,015	1,009	1,001	0,994	0,995	1,001	1,007	1,009
19,0	0,967	1,000	1,015	1,008	0,998	0,992	0,995	1,001	1,006	1,006
19,5	0,967	1,000	1,014		0,996	0,991	0,995	1,001	1,005	1,004
20,0	0,967	1,000	1,013	1,005	0,995	0,991	0,995	1,001	1,005	1,002
20,5	0,968	1,002	1,012	1,004	0,994	0,991	0,996	1,002	1,004	1,001
21,0	0,968	1,002	1,011	1,003		0,992	0,997	-	1,004	-
21,5	0,969	1,002	1,011	1,003	0,995	0,992	0,999	1,004	1,004	1,001

			,		,						r:
TX	0, 50	0,55	0,60	0,65	0,70	0, 75	0,80	0,85	0,90	0,95	1,00
0,0	0,000	0,000	0,000	0,000	0,000	0,000	0,000	0,000	0,000	0,000	0,000
0,5	0,240	0,248	0,255	0,259	0,267	0,275	0,282	0,290	0,297	0,304	0,314
1,0	0,461	0,476	0,490	0,505	0,519	0,534	0,547	0,562	0,575	0,593	0,603
1,5	0,665	0,685	0,706	0,722	0,740	0,758	0,776	0,794	0,813	0,832	0,844
2,0	0,833	0,856	0,878	0,899	0,919	0,938	0,956	0,974	0,986	1,003	1,020
2,5	0,967	0,985	1,010	1,031	1,042	1,060	1,078	1,098	1,113	1,125	1,133
3,0	1,061	1,082	1,100	1,117	1,130	0,142	1,154	1,164	1,172	1,176	1,178
3,5	1,115	1,132	1,145	1,158	1,161	1,166	1,171	1,174	1,175	1,175	1,175
4,0	1,142	1,152	1,158	1,159	1,160	1,161	1,156	1,149	1,141	1,131	1,118
4,5	1,138	1,134	1,134	1,138	1,132	1,127	1,111	1,099	1,085	1,071	1,053
5,0	1,118	1,115	1,107	1,098	1,084	1,069	1,053	1,037	1,019	1,001	0,986
5,5	1,092	1,083	1,070	1,050	1,032	1,016	0,994	0,979	0,962	0,951	0,932
6,0	1,051	1,037	1,021	1,003	0,984	0,956	0,949	0,934	0,922	0,920	0,906
6,5	1,018	1,001	0,982	0,946	0,948	0,936	0,920	0,910	0,903	0,903	0,905
7,0	0,993	0,975	0,957	0,941	0,927	0,917	0,911	0,908	0,909		0,925
7,5	0,974	0,958	0,944	0,926	0,922	0,911	0,920	0,927	0,934	0,946	0,958
8,0	0,966	0,951	0,941	0,935	0,932	0,936	0,944	0.965	0,970	0,986	1,004
8,5	0,966	0,949	0,944	0,948	0,951	0,958	0,974	0,990	1,006	1.023	1,041
9,0	0,970	0,960	0,961	0,966	0,976	0,990	1,006	1,023	1,039	1,053	1,061
9,5	0,975	0,972	0,980	0,987	1,000	1,015	1,033	1,048	1,059		1,066
10,0	0,982	0,985	0,993	1.006	1,020	1,036	1,049	1,059	1,053	1,062	1,056
10,5	0,987	0,996	1,007	1,017	1,033	1,046	1,054	1,058	1,055	1,048	1,033
11,0	0,993	1,002	1,014	1,027	1,039	1,047	1,048	1,044	1,034	1,021	1,005
11,5	0,997	1,006	1,017	1,029	1,037	1,043	1,034	1,024	1,010	0.994	0,977
12,0	0,997	1,006	1,019	1,026	1,027	1,025	1,015	1,000	0,984	0,969	0,958
12,5	0,997	1,006	1,018	1,019	1,017	1,010	0,995	0,979	0,965	0,954	0,949
13,0	0,997	1,006	1,014	1,012	1,005	0,993	0,980	0,964	0,955	0,950	0,955
13,5	0,998	1,006	1,010	1,005	0,995	0,982	0,968	0,958	0,954	0,958	0,970
	1,000	1,006	1,008	0,999			0,965	0,961		0,976	-
14,5	1,002	1,006	1,005	0,994	0,983	0,970	0,969	0,971	0,981	0,997	1,010
15,0	1,005	1,007	0,002	0,993	0,983	0,976	0,978	0,987	1,001	1,017	1,030
15,5	1,008	1,007	1,001	0,993	0,985	0,984	0,991	1,003	1,019	1,032	1,040
16,0	1,011	1,008	1,000	0,994	0,990	0,983	1,003	1,018	1,031	1,039	1,039
16,5	1,011	1,008	1,001	0,996	0,995	1,001	1,014	1,027	1,036	1,038	1,028
17,0	1,012	1,007	0,999	0,997	0,999	1,008	1,020	1,030	1,032	1,027	1,012
17,5	1,009	1,005	0,997	0,998	1,002	1,012	1,023	1,027	1,023	1,013	0,998
18,0	1,008	1,002	0,997	0,998	1,004	1,014	1,020	1,018	1,038	0,993	0,979
18,5	1,006	0,999	0,995	0,998	1,003	1,012	1,014	1,007	0,993	0,978	0,969
19,0	1,001	0,995	0,993	0,997	1,004	1,009	1,006	1,007	0,981	0,969	0,956
19,5	0,998	0,992	0,992	0,996	1,003	1,005	0,998	0,985	0,973		0,973
20,0	The second second	0,991	0,992	0,995	1,003	1,001	0,991	0,979	0,972	0,974	
20,5		0,991	0,994	0,996	1,001	0,996	0,986	0,976	0,974	0,990	
	-	0,993	0,997	0,996	0,999	0,993	0,983	0,975	0,981	1,002	
And in case of the last of the	0,996		1,000			0,992			0,997		
50 9		- 250 milita	10.50	all and	10.042	tari d			11355		ALLE CO.

Интегральные оценки позволяют оценить быстроту затухания процесса и отклонение регулируемой величины, не определяя то и другое в отдельности. В основе метода лежит разработка условных интегральных показателей, характеризующих наиболее просто отклонение реального переходного процесса от идеализированного.

Идеальным переходным процессом обычно принято считать либо ступенчатый (скачкообразный) процесс, протекающий мгновенно, либо экспоненциальный процесс с заданными параметрами. В качестве возмущения обычно принимается единичная ступенчатая функция.

Другой вид возмущения приведет просто к усложнению расчетов. Для оценки качества процесса регулирования используются интегральные характеристики, имеющие вид определенного интеграла от некоторых функций отклонения регулируемой величины.

# 3.Порядок выполнения работы

- 1. Ознакомиться с целью работы и теоретическими сведениями.
- 2. Получить у преподавателя номер варианта и дискету с программой расчета по приложению 3.
- 3. Рассчитать по структурной схеме передаточную функцию замкнутой системы управления.
- 4. Представить в табличной форме все коэффициенты полинома в зависимости от K,  $T_i$ ,  $K_{oc}$ .
- 5. Рассчитать вещественную частотную характеристику P(w) замкнутой системы.
- 6. Рассчитать переходный процесс h(t) в замкнутой системе по методу трапеций.
- 7. Построить переходный процесс на ЭВМ, задавая различные значения K и  $T_i$ , получить графики h(t) от этих переменных.
  - 8. По переходным процессам оценить качественные показатели процесса.
- 9. Рассчитать и построить переходный процесс для разомкнутой системы регулирования и оценить влияние  $K_{oc}$  и  $T_i$  на качественные показатели процесса.
- 10. По показателям переходного процесса, используя приближенные вычисления, посчитать частоту среза и запаса устойчивости по фазе.

# Содержание отчета

- 1. Краткие теоретические сведения о показателях качества и параметрах устойчивости.
  - 2. Расчет вещественной частотной характеристики.
- 3. Расчет переходной характеристики замкнутой системы и графики переходного процесса.
- 4. Расчет переходной характеристики разомкнутой системы и график переходного процесса.

- 5. Графики зависимости перерегулирования и времени регулирования от коэффициента обратной связи.
- 6. Выводы о влиянии постоянных времени с коэффициента усиления системы на переходный процесс.
  - 7. Таблица коэффициентов полинома.
  - 8. Качественные показатели переходного процесса.
  - 9. Частота среза и запас устойчивости по фазе.

# Контрольные вопросы

- 1. Связь показателей качества с характеристиками устойчивости системы.
- 2. Показатели качества и их оценки.
- 3. Получение вещественной частотной характеристики замкнутой системы.
- 4. Метод трапеций, последовательность расчета переходной характеристики.
- 5. Интегральные оценки качества.

# Лабораторная работа № 4. Функционирование управляющих систем измерительной РЭА

# 1. Цель работы:

Изучить принципы функционирования вольтметра с микропроцессорным управлением и приобрести практические навыки проведения измерений в режиме программирования.

# 2. Краткие теоретические сведения:

Вольтметр универсальный B7 – 46 предназначен для измерения постоянных напряжений и силы тока, среднеквадратических значений переменных напряжений и силы тока, электрического сопротивления постоянному току, отношения двух напряжений и обеспечивает математическую и логическую обработку результатов измерений. Вольтметр B7 – 46 применяется для обеспечения измерений при настройке, проверке и эксплуатации различной радиоэлектронной аппаратуры и используется как автономно, так и в составе автоматизированных измерительных систем. Вольтметр имеет выход в канал общего пользования (КОП).

Принцип действия вольтметра заключается в преобразовании измеряемой величины в нормированное постоянное напряжение значением от 0 до 2,2 В с последующим его преобразованием методом широтно – импульсной модуляции в цифровой код и вычислении значения измеряемой величины с учетом ранее полученных коэффициентов.

Схема электрическая структурная вольтметра универсального В7 – 46 приведена на рис.4.1. Вольтметр состоит из аналоговой и цифровой части. Аналоговая часть предназначена для преобразования измеряемой величины в импульсы, длительность которых пропорциональна измеряемой величине, и состоит из аналого-цифрового преобразователя (АЦП), источника опорного напряжения (ИОН), входного усилителя, усилителя V, преобразователя U, преобразователя R, преобразователя I, входного делителя U=, формирователя калибровочных напряжений, блока управления коммутационными элементами и стабилизатора аналогового.

Цифровая часть предназначена для управления вольтметром, формирования, обработки и индикации результата измерения, а также выдачи его в  $KO\Pi$ . Цифровая часть состоит из микропроцессорного контроллера ( $M\Pi K$ ), дешифратора адреса, генератора синхроимпульсов ( $\Gamma CU$ ), реверсивного счетчика, блока передний панели, устройства сопряжения с  $KO\Pi$ ; блока развязки и стабилизатора цифрового.

Подавление помех общего вида в вольтметре достигается гальванической развязкой аналоговой части от цифровой части и от корпуса вольтметра, а также путем экранирования ее с помощью специального экрана G.

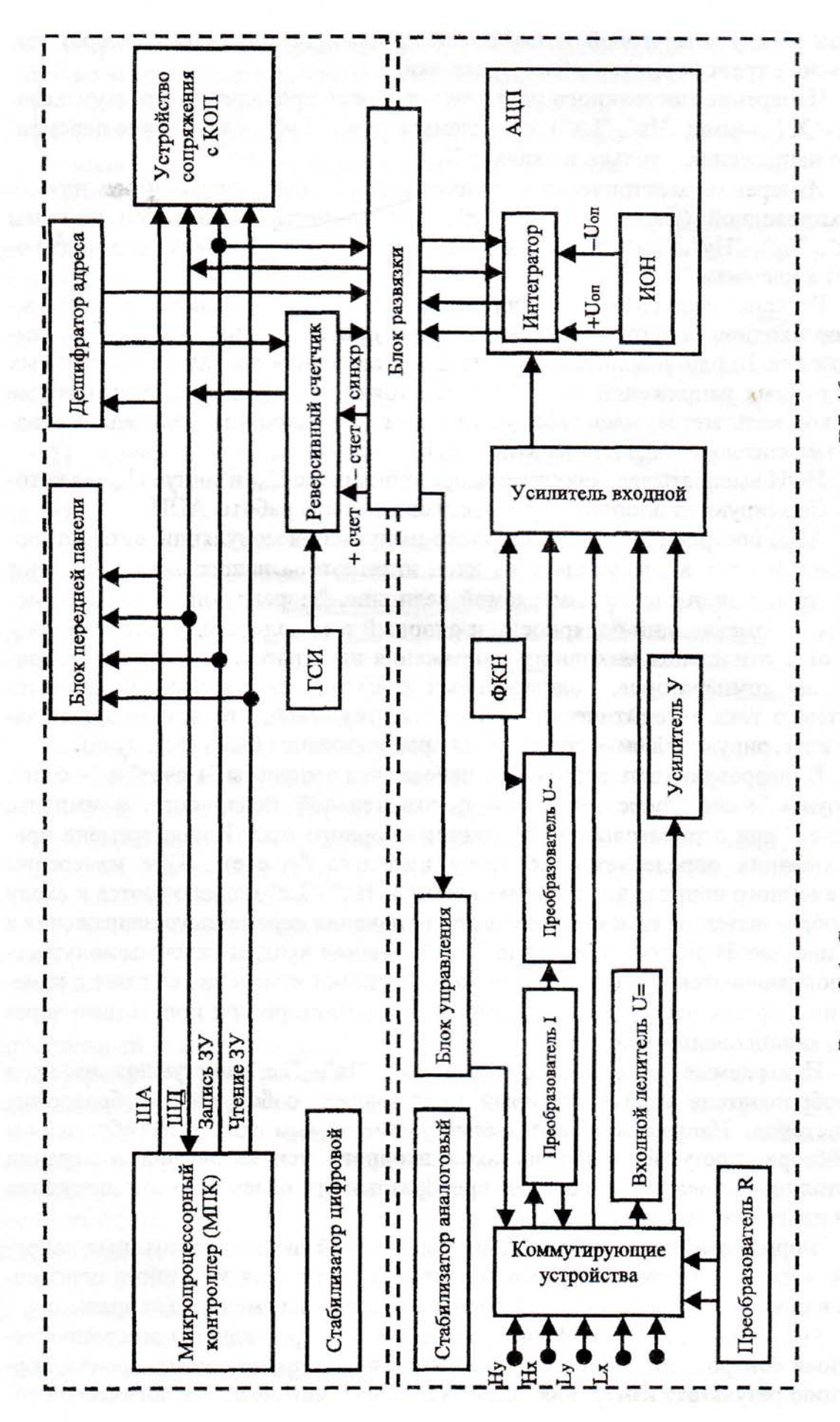


Рис. 3.1. Схема электрическая структурная вольтметра В7-46

Связь между аналоговой и цифровой частями осуществляется через импульсные трансформаторы блока развязки. Измерение постоянного напряжения может проводиться по двум каналам — X (клеммы "Hx", "Lx") и Y (клеммы "Hy", "Ly"), а измерение переменного напряжения — только по каналу X.

Измерение электрического сопротивления может проводиться или по двух-проводной (клеммы "Hx", "Lx") или по четырехпроводной (клеммы "Hx", "Lx", "Hy", "Ly") схеме. При измерении токов источник тока подключают к клеммам "Ix", "Lx".

Входной усилитель обеспечивает необходимую чувствительность и высокое входное сопротивление вольтметра при измерении постоянного напряжения. Входной делитель служит для расширения диапазона измеряемых постоянных напряжений до 1000 В. Постоянное напряжение, поступающее на вход вольтметра, масштабируется с помощью входного делителя и входного усилителя и подается на вход *АШП*.

UOH вырабатывает опорные напряжения плюс  $U_{on}$  и минус  $U_{on}$ , из которых формируются опорные токи, необходимые для работы  $AU\Pi$ .

АЦП построен по методу широтно – импульсной модуляции, суть которого заключается в следующем: на вход интегратора непрерывно поступают ток, пропорциональный измеряемой величине, "форсирующий ток", периодически изменяющий полярность, и опорный ток, полярность которого зависит от соотношения выходного напряжения интегратора и уровня компарирования компараторов, подключенных к выходу интегратора. Полярность опорного тока автоматически устанавливается такой, чтобы суммарный заряд интегрирующей емкости за время преобразования был равен нулю.

В цифровую часть вольтметра передаются импульсы "+ счет" и "– счет". Импульс "+ счет" передается при положительной полярности, а импульс "– счет" при отрицательной полярности опорного тока. Конец времени преобразования определяется по срезу импульса "— счет". При измерении переменного напряжения входные клеммы "Hx", "Lx" подключаются к входу преобразователя среднеквадратического значения переменного напряжения в постоянное. В режиме измерения сопротивления входные клеммы вольтметра подключаются к преобразователю K. Принцип измерения состоит в измерении падения напряжения на измеряемом резисторе при протекании через него калиброванного тока.

Измеряемые токи с входных клемм "Ix", "Lx" поступают на вход преобразователя тока I, который представляет собой набор образцовых резисторов. Напряжение, создаваемое измеряемым током на образцовом резисторе, поступает либо на вход входного усилителя при измерении постоянного тока, либо на вход преобразователя переменного напряжения при измерении переменного тока.

Формирователь калибровочных напряжений выдает постоянные напряжения для калибровок входного усилителя и усилителя Y, а также переменное напряжение для калибровки преобразователя переменного напряжения.

Основным блоком цифровой части вольтметра является микропроцессорный контроллер. Он обеспечивает управление процессом измерения, коррекцию результата измерения, выполнение математической и логической обработки результатов измерений, вывод их на индикаторное табло, взаимодействие всех

узлов, контроль их работоспособности, ввод информации с передней панели и управление работой вольтметра с  $KO\Pi$ .

С блоками цифровой части вольтметра МПК соединяется посредством:

- шины адреса (IIIA), обеспечивающей обращение контроллера к внутренней памяти и к отдельным блокам вольтметра;
- шины данных (*ШД*), обеспечивающей передачу информации между запоминающим устройством контроллера и микропроцессором, а также между контроллером и узлами вольтметра;
- сигналов "Запись ЗУ" ( $3\Pi 3V$ ) и "Чтение ЗУ" ( $4\Pi 3V$ ) для синхронизации режимов записи и чтения информации в/из блоков вольтметра.

Обращение *МПК* к блокам вольтметра осуществляется по шине адреса. Дешифратор адреса дешифрирует состояние шины адреса и вырабатывает сигналы "Выбор устройства" и "Выбор аналоговой части".

Генератор синхроимпульсов предназначен для формирования счетных импульсов для реверсивного счетчика и форсирующих импульсов для работы  $AU\Pi$ .

Реверсивный счетчик обеспечивает формирование кода, соответствующего значению измеряемой величины.

Основную функциональную нагрузку в цифровой части вольтметра несет микропроцессорный контроллер, структурная схема которого приведена на рис. 3.2.

#### МПК состоит из:

- центрального процессорного устройства (ЦПУ);
- оперативного запоминающего устройства (O3V);
- постоянного запоминающего устройства (ПЗУ).

В  $\Pi\Pi V$  входят: генератор ( $\Gamma$ ), формирователь тактовых импульсов ( $\Phi T U$ ), буфер адреса (EAI), двунаправленный трехстабильный буфер данных ( $E\Pi I$ ), блок прерываний ( $E\Pi I$ ), системный контроллер (EK), блок сигнатурного анализа (ECA) и формирователь начальной установки ( $\Phi H V$ ).

В  $\Pi 3V$  входят: буфер адреса (EA2), дешифратор адреса кристалла ( $\Pi AK$ ), буфер данных ( $E\Pi 2$ ), токовые ключи ( $E\Pi 3V$ ) общей емкостью 16Kx8.

Организацию  $M\Pi K$  и всей цифровой части вольтметра определяет однокристальный восьмиразрядный микропроцессор 580BM80. Выводы  $M\Pi$  AO — A15 формируют трехстабильную шину адреса, по которой осуществляется адресация памяти или блоков вольтметра. Выводы  $\mathcal{A}O$  —  $\mathcal{A}T$   $M\Pi$  формируют двунаправленную шину данных ( $\mathcal{I}U\mathcal{A}$ ). По ней  $M\Pi$  может как принимать данные для дальнейшей их математической и логической обработки, так и передавать результаты этой обработки внешним устройствам. При подаче на вход начальной установки 811 микропроцессора сигнала логической "1" внутренние регистры  $M\Pi$  устанавливаются в исходное состояние.

На вывод TP ("Захват") поступает от внешних устройств запрос допуска к шинам данных и адреса. Результатом появления сигнала захвата является то, что  $M\Pi$  отключается от своих шин и информирует об этом другие блоки с помощью сигнала "Подтверждение захвата" на выводе HLDA.

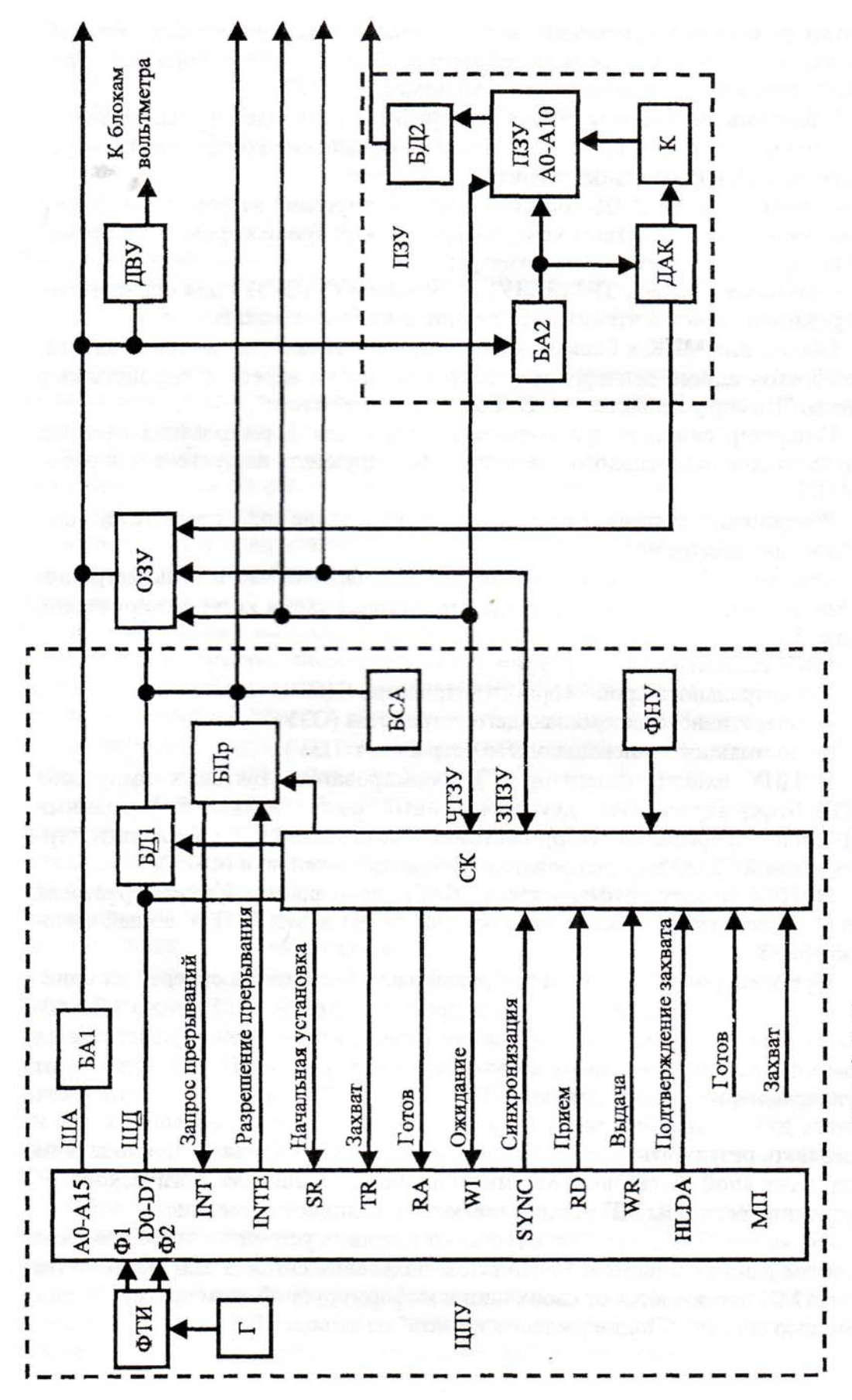


Рис. 3.2. Схема электрическая структурная микропроцессорного контроллера

Вход готовности "HA" и выход ожидания "YI" используются для синхронизации скорости работы  $M\Pi$  с более медленными устройствами. При подаче на вход "RA" сигнала логического "0"  $M\Pi$  переходит в режим ожидания и находится в нем до поступления на этот вход сигнала логической" 1".

С вывода SYNC снимается сигнал синхронизации, который оповещает память и блоки вольтметра о начале нового машинного цикла, чем обеспечивается согласование во времени их работы с работой  $M\Pi$ . Наличие на выводе "RD" ("Прием") сигнала логической "1" дает разрешение на прием микропроцессором байта информации с шины данных IIII. Наличие на выводе WR ("Выдача") сигнала логического "0" указывает на то, что  $M\Pi$  выдает байт информации на шину данных.

Выводы "*INT*" ("Запрос прерывания") и "*INTE*" ("Разрешение прерывания") используются для организации режима прерывании от блоков вольтметра. Переход на режим прерываний осуществляется по специальной команде *RST*, которая формируется в блоке прерываний *БПр* при поступлении с одноименного выхода микропроцессора на его вход *INTE* сигнала логической "1", а на вход *Пр1* или *Пр2* — сигнала логического "0", поступающего соответственно из устройства сопряжения с *КОП* или из *АЦП*.

В *БПр* вырабатывается сигнал "Запрос прерывания", который поступает на вход *INT* микропроцессора. По этому сигналу *MП* считывает код команды *RST*, что позволяет ему сформировать сигнал прерывания, т.е. адресовать одну из двух подпрограмм обслуживания прерывания в зависимости от того, какое устройство выставило прерывание –  $KO\Pi$  ( $\Pi p1$ ) или  $A\Pi$  ( $\Pi p2$ ).

Прием информации из памяти или блоков вольтметра в  $M\Pi$  происходит по сигналу "*Чтение ЗУ*" (*ЧТЗУ*), запись данных с  $\Pi\Pi$  в память осуществляется по управляющему сигналу "Запись ЗУ" ( $3\Pi 3V$ ).

Системный контроллер (CK) формирует следующие сигналы, управляющие микропроцессором: "Чтение 3V" и "Запись 3V"; "Готов", который используется для формирования такта ожидания микропроцессора и для организации пошагового выполнения программы в процессе настройки  $M\Pi K$ ; "Захват" — запрос допуска к шинам данных и адреса; "Начальная установка" для установки внутренних регистров микропроцессора в исходное состояние.

Буфер данных  $B\mathcal{I}1$  служит для передачи данных из/в  $M\Pi$ , а также для согласования шины данных микропроцессора с блоками вольтметра.

В процессе обмена информацией с O3V или II3V или с блоками вольтметра микропроцессор по шине адреса IIIA выдает адрес ячейки памяти или блока вольтметра, с которым будет проводиться обмен информацией.

Согласование микропроцессора по нагрузочной способности осуществляется буфером адреса  $\mathit{EA1}$ .

Дешифратор выбора устройств ДВУ предназначен для дешифрации адреса, поступающего по ША, и определения конкретного блока, с которым должен произойти обмен информацией.

Дешифратор адреса кристалла ДАК выдает адрес кристалла  $\Pi 3 Y$  или O 3 Y, в котором записана используемая в данный момент программа, при этом в  $\Pi 3 Y$  ключи K подключают питание к выбранному кристаллу  $\Pi 3 Y$ .

Формирователь начальной установки  $\Phi H V$  служит для установки  $M\Pi K$  в исходное состояние при включении вольтметра.

Блок сигнатурного анализа BCA предназначен для выбора одной из программ сигнатурного анализа блоков вольтметра и формирования окна сигнатурного анализа.

O3V предназначено для хранения информации, получаемой в процессе работы вольтметра. Выбор адреса памяти O3V осуществляют дешифратор адреса кристалла  $\mathcal{I}AK$  и блок системного контроллера.

В  $\Pi 3 V$  хранятся программы работы вольтметра, тестовой проверки и сигнатурного анализа.

Передача информации из цифровой части вольтметра в аналоговую выполняется следующим образом: сформированный в *МПК* для передачи байт информации восемь раз засылается но адресу "Выбор аналоговой части" по шине данных ШД7. После каждой засылки программно осуществляется сдвиг содержимого аккумулятора *МП*. Таким образом, через шину данных ШД7 последовательно передается байт информации, а затем аналогично передаются и остальные байты.

#### 3. Порядок выполнения работы

- 1. Установить переключатель CETb вольтметра в положение BKЛ при отключенном кабеле на входе. Убедиться в течение 65-70 с в исправности вольтметра и правильности автокалибровки. В первый момент после включения на индикаторном табло в течение 2-3 с индицируется сообщение HELLO, а затем индицируются этапы автокалибровки. Критерием исправности вольтметра является отсутствие индикации ErrXX, где XX номер неисправности.
  - 2. Изучить порядок работы вольтметра в режиме программирования:
- 2.1. Режим программирования предназначен для задания математической, статистической и логической обработки результата измерения, а также для выполнения других дополнительных функций.

Для ввода программ необходимо провести операции, изложенные ниже.

- 2.2. Нажать клавишу  $\Pi PO\Gamma PAM$ , при этом на индикаторном табло вольтметра появится сообщение PrXX, где XX двузначный номер программы. При нажатой клавише  $\Pi PO\Gamma PAM$  остальные клавиши вольтметра, кроме клавиш  $Uc\Pi$  и  $Uc\Pi$  и  $Uc\Pi$  и  $Uc\Pi$  и  $Uc\Pi$  изменяют свое назначение. Назначение клавиш в режиме программирования указано непосредственно на их поверхности.
- 2.3. Установить номер выбранной программы, для чего нажать соответствующие клавиши, обозначенные гравировкой от "0" до "9". Вводить сначала старший, а затем младший разряды двухзначного номера программы. Если при вводе номера программы была допущена ошибка, ввод программы повторить. Номер программы введен правильно, если он правильно индицируется на индикаторном табло.
  - 2.4. Нажать клавишу  $Be\Pi$ .
- 2.5. Для перехода из режима программирования в режим измерения нажать клавишу *ПРОГРАМ*. Для отказа от выбранной программы нажать клавишу *"X"*.

3. Подключить кабель от генератора сигналов ко входам вольтметра Hx и Lx. Установить на генераторе частоту и напряжение согласно заданному варианту в табл. 3.1. Включить генератор.

Таблица 3.1

Вариант	1	2	3	4
Частота генерато-	0,8	0,7	0,6	0,5
ра, Гц				
Напряжение, В	2-3	4-5	6-7	8-9
Размер выборки п	75	100	125	150
Программа 1	07	08	09	10
Программа 2	20	21	22	20

- 4. Провести статистическую обработку результатов измерений:
- 4.1. Ввести номер одной из программ 06 10 согласно заданному варианту по методике, изложенной в п.п. 2.2 2.5.

На индикаторном табло вольтметра должно индицироваться шестизначное число. В старшем разряде числа установится курсор, обозначенный миганием индикатора. Курсор указывает разряд, в котором возможна замена цифры. Курсор можно передвигать влево и вправо при помощи клавиш " $\leftarrow$ " и" $\rightarrow$ ".

- 4.2. Установить при помощи клавиш "0" "9", " $\leftarrow$ " и " $\rightarrow$ " необходимое значение размера выборки п статистической обработки согласно заданному варианту, работа клавиш "," и "+/-" в этом режиме запрещена.
- 4.3. Нажать клавишу *ВЫЧ*. На индикаторном табло вольтметра будет индицироваться результат статистической обработки результатов n измерений в соответствии с выбранной программой.
  - 5. Просмотреть итоговые результаты статистической обработки:
- 5.1. Программа 11 используется после работы вольтметра в режиме статистической обработки результатов измерении по программам 06-10 для последовательного просмотра результатов статистической обработки.
- 5.2. Ввести номер программы 11 по методике, изложенной в п.п. 2.2 2.5. На индикаторном табло будет индицироваться размер выборки, заданный в предыдущих операциях.
- 5.3. Нажать клавишу  $Be\Pi$ . На индикаторном табло будет индицироваться результат вычисления среднего значения величин измерения.
- 5.4. Нажать клавишу  $Be\Pi$ . На индикаторном табло будет индицироваться результат вычисления математического ожидания.
- 5.5. Нажать клавишу  $Be\Pi$ . На индикаторном табло будет индицироваться результат вычисления дисперсии.
- 5.6. Нажать клавишу  $B в \Pi$ . На индикаторном табло будет индицироваться результат вычисления среднеквадратического отклонения результата измерения.
- 5.7. Нажать клавишу  $Bв\Pi$ . На индикаторном табло установится сообщение Pr11. Работа по программе 11 закончена.
  - 6. Отыскание экстремальных значений измеряемой величины.

- 6.1. Ввести номер одной из программ 20 22 согласно заданному варианту по методике, изложенной в пп. 2.2 2.5.
- 6.2. Нажать клавишу *ПРОГРАМ*. Вольтметр перейдет в режим измерения, в котором он работал до введения номера программы.
- 6.3. Нажать клавишу *ВЫЧ*. Вольтметр будет определять экстремальное значение измеряемой величины (*Xmin*, *Xmax* или *Xmax Xmin*) в соответствии с заданной программой, а на индикаторном табло будет индицироваться его результат.
- 7. Просмотр итоговых результатов поиска экстремальных значений результата измерения:
- 7.1. Программа 23 используется после работы вольтметра по программам 20,21,22.
- 7.2. Ввести номер программы 23 по методике, изложенной в п.п. 2.2 2.5. На индикаторном табло будет индицироваться результат по программе 20.
- 7.3. Нажимая каждый раз клавишу  $Be\Pi$ , можно последовательно просмотреть результаты логической обработки результатов измерения по программе 21, а затем по программе 22. Работа по программе 23 заканчивается, когда после очередного нажатия клавиши  $Be\Pi$  на индикаторном табло появится сообщение  $Pr\ 23$ .]

#### 4. Содержание отчета

- 1. Цель работы.
- 2. Теоретические сведения о принципах функционирования управляющей системы вольтметра.
- 3. Схемы электрические структурные вольтметра и микропроцессорного контроллер.
  - 4. Результаты измерений.
  - 5. Выводы.

# 5. Контрольные вопросы

- 1. Принцип действия вольтметра.
- 2. Состав и назначение блоков вольтметра.
- 3. Из чего состоит и как функционирует микропроцессорный контроллер?
- 4. Как организован обмен данными между микропроцессором, памятью и блоками вольтметра?
  - 5. Как осуществляется управление микропроцессором блоками вольтметра?
  - 6. Как организован режим прерываний?
  - 7. Для чего предназначен системный контроллер сигнатурного анализа?

#### Рекомендуемая литература

- 1. Теория автоматического управления / Под ред. А.А. Воронова. М.: Высшая школа, 1986. ч.1. 376 с.
- 2. Микропроцессорное управление технологическим оборудованием микроэлектроники / Под ред. А.А. Сазонова. М.: Радио и связь, 1988. 264 с.
- 3. Дорф Р., Бишоп Р. Современные системы управления. ЛБЗ, 2003. 831 с.
- 4. Г. Олссон, Дж. Пиани. Цифровые системы автоматизации и управления. СПб, 2002. 556 с.
- 5. Новиков Ю.В., Скоробогатов П.К «Основы микропроцессорной техники: Курс лекций». СПб, 2001. 432 с.
- 6. Теория автоматического управления / Под ред. В.В. Салодовникова. Машиностроение, 1967. 770 с.
- 7. Справочник по теории автоматического управления / Под ред. А.А. Красовского. М.: Наука, 1972.—712 с.